

GRUNDIG
4-84

TECHNISCHE INFORMATIONEN

Wecker,
Wellen- und Wetterstation -
einzigartig!



Fachberichte aus dem Hause Grundig zur Electronic, Video- und Audiotехник

Gebrauchstest GRUNDIG-Oszilloskop MO 53

Der Autor dieses Beitrags, Herr Dieter Nuhrmann, ist beratender Ing. VSt. und bekannter Fachbuchautor. Aus seiner Feder stammen z.B. „Das ideale Werkbuch der Elektronik. Der Weg zum Hobbyelektroniker“ oder „Die im Franz Verlag erschienen sind. Im nachfolgenden Beitrag stellt Herr Nuhrmann den MO 53 vor, den er im Januar 1984 ausführlich in seinem Labor testete. In gedrängter Form wurde dieser Artikel bereits in der Funkschau B/84 veröffentlicht.

Die professionelle Elektronik und die heutige moderne Mikroelektronik haben in ihren Entwicklungsphasen immer die Forderung nach präzisen und modernen Meßmitteln erhoben. Der Bereich GRUNDIG electronic in Fürth hat dem Rechnung getragen. Seit dessen Gründung im Jahre 1951 haben weit über 200000 Geräte für die Bemitteltechnik des WZL verlassen. Später, Anfang der 60'er Jahre, drängte die Entwicklung verschiedener Gerätetypen mehr und mehr in die Zielgruppen professioneller Anwender. Diese modernen Meßinstrumente mit dem Zischen GRUNDIG electronic finden Sie heute in Ausbildungseinrichtungen, Entwicklungslaboren und gleichermaßen auch im Servicebereich der braunen Ware.

Von jeher nahm der Oszillograf – oder Oszilloskop, wie die heutige Bezeichnung lautet – eine dominierende Rolle bei den Meßgeräten ein.

Ein Oszilloskop und sein Platz im Wettbewerb

Mit dem Oszilloskop MO 53 legt GRUNDIG durch den neuen Begriff der Zetautomatik und seiner ausgereiften Realisierung zweifellos einen Vorsprung anstrebt. Ein Ziel, das der Wettbewerb einholen muß, wenn die Zetautomatik als AUTO-RANGE+ Standard eines neuen Bedienkomforts hier einmal geprägt wird. Lag Ende der 60'er Jahre die Grenze in der Bandbreite für Mittelklassen-Oszilloskope bei 18 MHz, so wurden Mitte 1978 schon 28-MHz-Geräte unter 2000 DM angeboten. Heute sind das bereits Mindeststandards im heimatkämpfenden Markt dieser Preisklasse. Besondere Beachtung erhält nur das Gerät, welches mit seinen Daten hier hervorragt, auch hier überzeugt das MO 53 mit einer Vertikalsendbreite von mehr als 50 MHz.

Das waren meine Untersuchungskriterien

Ein Gerät MO 53 mit der Werksnummer 1249 hatte ich im Januar 1984 in meinem Labor für vier Wochen in Gebrauch (Bild 1). Für die tägliche Arbeit wurde das Gerät im Bereich seiner Zielfunktion eingesetzt und untersucht: Zeitdaten, die u.a. Begriffe wie 50-MHz-Bandbreite, 2-mV-Empfindlichkeit, Zetautomatik, alternierende Zeitbasis und die Videoverwendung beinhalten. Das weiteren interessierten mich Funktionen für den täglichen, ruhigen Einsatz im Innen- und Außenservice, sowie als Meßmittel im Produktionsbereich. So auch der mögliche Einsatz für die praktischbegrenzte Ausbildung in Schulen und zuletzt Marktfaktor für den Profi im Labor. Unter dem Aspekt des praktischen Einsatzes sind auch die Gerätefoto und die verschiedenen Dualogramme (Bild 1) entstanden.



Bild 1: Der Autor im Gespräch mit dem MO 53

Einzelne Bediengruppen stehen an der Front des MO 53 klar aufgeteilt. Der Aufbau der Bedienfunktionen im Bild 2 zeigt Ihnen als Anwender die klare Zuordnung. Die Bedienelemente sind nach ihrer Funktion geordnet in deutig farbig abgesetzte Flächen untergebracht, die das ansprechende Design des MO 53 prägen. Die Beschriftung ist kontrastreich, so daß für den Anwender auch in hellen Räumen keine Einschränkung besteht. Ich habe mich trotz der zuerst doch recht umfangreich schenenden Anzahl von Bedienelementen schnell zurechtgefunden und meine, daß es jedem Benutzer so gehen wird. Voraussetzung möchte ich lediglich, daß der Anwender mit der allgemeinen Bedienung eines Oszilloskops vertraut ist.

Die Regler, Schalter und Drucktasten sind in fast allen Fällen leicht zugänglich. Bei angeschlossenen Meßkabeln wird lediglich der Bereich der beiden Vertikalabstimmwähler und der des Vertikaleingangswählers etwas eng.

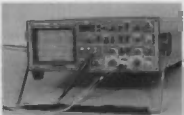


Bild 2: Bild 2 zeigt die Trennung der Bedienfunktionen - eine Wahrnehmung für die einzelne Benutzung

Inhaltsübersicht

Heft 4 - '84

31. Jahrgang

Herausgegeben am Dezember 1984

Rundfunk-Technik	Seite
Sono Clock 1000 Clima-Meter	194
Professor für Video-Technik	
Videoverteiler VV 75	199
Atemmessens	
Umweltanalysatoren	197
Microsat-MP-Terminal	
Erfahrungsbericht MO 53	292
Service-Technik	
Magnet im Überblick	222



GRUNDIG TECHNISCHE INFORMATIONEN

Fachberichte aus dem Hause GRUNDIG:
zur Elektronik, Video- und Audientechnik

Herausgeber: GRUNDIG AG

Kunigundenstraße 27, 8510 Fürth

Faxmodem (Modemteil):

(0911) 70 37 92 / 7 03 88 92

Redaktion:

W. Kappeler / W. Liebert

GRUNDIG-TECHNISCHE INFORMATIONEN
erscheinen in zweimonatiger Folge und werden auf
Anforderung kostenfrei an GRUNDIG-Fachge-
schäfte und Fachvertriebsfirmen als Werksdruckform
der Menge abgelegten Zustand für die Auf-
nahme in den Versand versendet. Der jeweils zu-
ständige GRUNDIG-Werksdrucker oder Werk-
vertrieb ist für GRUNDIG-Information-Karten in
die Wertabrechnung von GRUNDIG-Geschäften
zuständig.

Private Empfänger erhalten die Bezug gegen eine
Schutzgebühr von DM 2,6,- pro Jahr (anrechenbare
Vorhandensein möglich), zahltur auf Post-
geschäftsstelle Nürnberg 31879 GRUNDIG AG,
8510 Nürnberg. (Die Bezahlung erfolgt am einfach-
sten mit einer Zollzettelabrechnung.)

Für Einzelabrechnungen ist die Schutzgebühr DM 2,-.
Nachbesteller-Namen wird eine Zollzettel begegnet,
zahltur gegen Rechnung ist nicht mög-
lich.

Unverbindlicher Nachdruck von TI-Berichten ist
bei ausdrücklicher Quellenangabe und Zusicherung
des Belegsempfängers gerne gestattet.

Änderungen vorbehalten!

Druck: Autowerke Druck KG, Regensburg

Sehr geehrter Leser der TI,

wir besuchen mit Ihnen unser Werk 20 und zeigen Ihnen
die Herstellung von Einseitenleiterplatten, eine
Technologie, die nach qualitativen und wirt-
schaftlichen Gesichtspunkten ausgewählt wurde.

Ein Beitrag befaßt sich mit dem Video-Verteiler VV 75
aus der professionellen Video-Technik.

Eine einzigartige Kombination von Wecker, Radio- und
Wetterstation wurde bei GRUNDIG mit dem
Sono Clock 1000 Clima-Meter entwickelt. Mit diesem
Gerät können Sie sich nicht nur wecken lassen oder
Musik hören. Sie können auch die Raumtemperatur,
Außentemperatur, Raum-Luftfeuchtigkeit, Luftdruck,
Wetterlage und Tendenz bequem auf Knopfdruck abrufen.

Herr Dieter Nühmann, ein bekannter Fachbuchautor,
hatte die Gelegenheit, das Meßoszilloskop MO 53
von GRUNDIG zu testen und gibt Ihnen einen
ausführlichen Erfahrungsbericht.

Die auf den letzten Stand gebrachte Microfilm-
Übersicht runden den Themenkreis dieser TI ab.

Da dies das letzte Heft des Jahres ist, wünschen wir
Ihnen frohe Festtage und alles Gute im neuen Jahr 1985.

Wir werden Sie auch im nächsten Jahr in gewohnter
Weise mit neuen GRUNDIG-Techniken vertraut machen.

Ihre Redaktion

P.S. für unsere Privatbezieher:

Wir bitten Sie, die Schutzgebühr für 1985 bis spätestens
Ende Februar 1985 zu überwiesen; bitte geben Sie auf
der Zahlkarte unbedingt Ihre Kundennummer mit an.
Nur dadurch können wir sicherstellen, daß Sie die TI
im nächsten Jahr wieder regelmäßig erhalten werden.

Übersicht

Der WV 75 verfügt wie sein Vorgänger, der WV 71, ein FIDAS-Signal auf sechs gleichwertige Ausgänge. Der eingehverarbeitende Teil des Gerätes ist der Verstärkerverstärker UVB, der auch als selbständiger Baustein, z.B. in 10%-Gehärteträgern, verwendbar ist.

Das neue elektronische Konzept berücksichtigt die bis Laufe der Jahre gestiegenen Anforderungen. So enthält der WV 75 jetzt ein Netzteil, der Signalverlauf am oberen Bandende ist beeinflussbar und eine Klemmschaltung sorgt für stabile Arbeitspunkte. Auch für erhöhte Funktionsicherheit wurde durch verbesserten Überspannungsschutz etwas getan.

Der mechanische Aufbau (Bild 1) gleicht dem der Baustein-Übertragungsgeräte. Als Gehäuse wurde der bekannte Präzisionsfachkunststoff mit außen liegenden Befestigungsschrauben verwendet. Innen trägt eine Grundplatte UGH den Bausteinträger UGN. Darauf steckt die Leiterplatte UVB.

An der Gehäuseseitenseite sind sieben BNC-Buchsen für die Signaleinschlüsse angebracht; die Stromversorgungslieferung läuft über eine Steckfassung ins Gerät geführt.

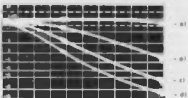


Bild 1: WV 75 gefüllt, Leiterplatte UVB abgesetzt

Die Schaltung um T 8 hält die Synchronimpulsböden auf konstanter Gleichspannungsstufe. Ihre Wirkung lässt sich durch die Größe des Koppellindensators beeinflussen. Mit C 6 parallel C 7 (Brücke D zu Ausleseverzweigungsstufe) reicht es nur zur Haltung des Arbeitspunktes mit C 7 allein können Brummspannungen bis $2V_{DD}$ unterdrückt werden. Damit ist allerdings eine geringe Verformung der Synchronimpulse und eine leichte horizontale Dachschragre verhindert.

Die Z-Diode D 6 gehört indirekt mit zur Klemmschaltung. Sie verschiebt die Basis von T 4 auf etwa halbe Betriebsspannung, dem günstigsten Arbeitspunkt für die Klemmung.

Bei der Signaleinkopplung erhält die bereits beim UVA praktizierte Technik, nämlich ein Emitter-Folger pro Ausgang, wegen der besseren Entkopplung der Ausgänge untereinander den Vorzug vor einem zunächst vorgesehenen Transistorkonzept.

Die Leiterplatte UVB benötigt eine Versorgungsspannung zwischen 20 und $30V_{DD}$, bei Abschaltung von maximal drei Ausgängen und bis zu $35V_{DD}$ zulässig. Daraus gewinnt IC 1 stabil $15V_{DD}$. Der IC schützt sich selbst vor Überstrom und Überlast. Schaden bei Verpolung der Versorgungsspannung verhindert D 1.

Das $15V_{DD}$ -versorgten Eingangsverstärker- und Klemmschaltung direkt, die Endstufen laufen dagegen nur an ca. $7V_{DD}$, um die Erwärmung im Becher zu verringern.

T 10 teilt diese Spannung von den $15V_{DD}$ -ab und gibt seine Verstärkung, ebenso wie die des IC 1, genutzt über ein mit dem Abschirmblech verschraubtes Kühlblech an die Umgebung ab.

Überspannungsschutz

An die Signalein- und -ausgänge werden in der Praxis auch relativ lange Koaxialkabel angeschlossen, so dass dem Überspannungsschutz besondere Aufmerksamkeit zu widmen wäre.



Bild 1: WV 75 gefüllt, Leiterplatte UVB abgesetzt

Verstärkerverstärker UVB

Die Leiterplatte UVB ersetzt den alten Verstärkerverstärker UVA. Beide Bausteine erfüllen die gleiche Funktion und sind auch gegenseitig austauschbar. Lediglich die Bauteile bzw. die Leiterplatten UXO, die der Leiterplatte UVA vorgesetzten werden müssen, entfallen.

Das Eingangssignal (IV_{DD} pos., maximal überlagerter Gleichspannung $\pm 4V$) gelangt weiterhin hochvom oder mit 750Ω belastet auf den Emitterfolger T 1 und von dessen Ausgang auf den Verstärker T 4/T 5. Am Kollektor des T 8 steht das Signal in doppelter Größe und mit gleicher Polarität z.z. am Eingang. Die Brücken B und C ermöglichen es, den für den zweistufigen Einsatz geeigneten Abfall der Signale an der oberen Bandgrenze einzustufen (Bild 2).

Zur Schutzschaltung gehören die Dioden an der Basis von T 1 und zwischen den Kollektoren und Emittoren der Ausgangstransistoren, der Basisspannungsquelle von T 5, die Quellwiderstände und die Ausgangstrennstufen selbst auf Grund ihrer technischen Daten.

Zusätzlich können 90 V Überspannungsschützer auf der Grundplatte UGH mit dem Erdanschluß als Bezugspunkt nachgerüstet werden.

Stromversorgung

Der VV 75 ist serienmäßig mit dem Netzteil UPA bestückt und damit für Betrieb an einer Netzspannung von 220 V ~ (umschaltbar auf 110 V ~) ausgelegt. Die Versorgung aus 35 V ~ - 90 V ~ der Fernspannungsleitung der Betriebsspannungsübertragungsanlage ist nach Tauch des Netzteiles UPA gegen die Spannungswandler UPD möglich. Beide Leiterplatten haben gleiche Befestigungs- und Anschlußbedingungen.

Aber auch eventuell bei sitz vorhandene 24 V ~ können zur Versorgung verwendet werden. Der Einspannpunkt, eine 2-polige Schraubklemme, steht nach Ausbau von UPA bzw. UPD auf der Grundplatte zur Verfügung.

Dieses Gerät nimmt regulär alle Ausgänge abgeschlossen, 100% Weißbild 155 mA auf, bei Netzbetrieb 6,5 VA.

Für den Praktiker

Die Schaltung um T 4/T 5 (Bild 3) ist in Video- und Audiogeräten häufig zu finden.

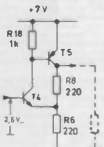


Bild 3: Wiederaufbau T 4/T 5

Wesentliche Eigenschaften sind:

- hoher Eingangswiderstand
- niedriger Ausgangswiderstand
- phasengleiche Ein- und Ausgangsspannung
- hohe Bandbreite

Diese Funktion ist leicht verständlich, wenn man zunächst einige Feinheiten außer acht läßt und erkennt, daß

- die Emissionsspannung T 4 gleich die Betriebsspannung T 4 minus ca. 0,6 V und

- der Strom durch T 4 etwa gleich 0,6 : R 18 ist.

Im Rauspiel heißt das: $I_{C4} = 0,6 \text{ V} : 1k = 0,6 \text{ mA}$.

Um Emitterspannung 2,8 - 0,6 = 2 V und durch R 8 müssen daher $2V : 220\Omega = 9 \text{ mA}$ fließen. Davon kommen ca. 0,6 mA aus T 4. Dem Rest von 0,4 mA kann nur T 5 über R 8 liefern.

Eine Erhöhung der Basisspannung von T 4, z.B. um 1V, hat auch eine Änderung der Emissionsspannung um 1V zur Folge. Der neue Strom durch R 8 ist $3V : 220\Omega = 13,6 \text{ mA}$. Dieser Strom fließt mit großen und ganzen auch über R 8 - 220Ω, so daß auch die Spannung um ca. 1V ansteigt. Gegen Schaltungsmaßen gemessen addieren sich die Spannungsänderungen aus einer Änderung von 1V am Verstärkerereingang sind 2V am Ausgang geworden. Wird R 8 vergilbt, steigt die Spannung und umgekehrt. Die Verstärkung der Stufe wird vom Wert von R 8, genauer gesagt, vom Verhältnis R 5 zu R 8 bestimmt. Direkt von Kollektor T 5 nach Messe geschaltete Widerstände ändern deren nichts.

Die wichtigsten technischen Daten:

Eingangswiderstand:

Brücke A des UVB auf: $> 750 \Omega$

Brücke A zu (Auslieferungszustand): 75Ω mit A, zu 20 dB, 5 MHz

Eingangsspannung:

$U_{IN} (\max 1,4V_{BS})$ pos. (F) BAS-Signal

Ausgangsspannung:

$U_{OUT} = U_{IN} \pm 10\%$ pos. (F) BAS-Signal an allen 5 Ausgängen bei Abschluß mit 75Ω . Gleisspannungspiegel der Synchronimpulsablenen $\rightarrow 0,7V \pm 0,1V$

Quellwiderstand:

75Ω , A, zu 20 dB/5 MHz an allen Ausgängen

Frequenzgang:

UVB Brücke

B und C auf: 50 Hz - 10 MHz $\pm 1\text{dB}$

B zu: -2...-5 dB/10 MHz $\leq -2\text{dB/5 MHz}$

C zu: -8...-8 dB/10 MHz $\leq -8\text{dB/5 MHz}$

B und C ab: -8...-11 dB/10 MHz, $\leq -8\text{dB/5 MHz}$
(Auslieferungszustand: B zu)

Diff. Phase:

$\leq 3^\circ (4,43 \text{ MHz})$

Diff. Verstärkung:

$\leq 3\% (4,43 \text{ MHz})$

Störabstand:

bei 1 kHz $> 80 \text{ dB}$

0,1...37 MHz $> 70 \text{ dB}$

0,1...3,5 MHz $> 70 \text{ dB}$

0,1...5 MHz bewertet $> 70 \text{ dB}$

Brummunterdrückung:

UVB-Brücke D zu (Auslieferungszustand): Ju und

D auf: $> 1V_{BS}$ mit $> 20 \text{ dB}$

Kennbaudaten:

Led für kurze Kontrolle, kein Dauerbetrieb!

Überstromschutz:

Leiterplatte UPA: 50 mA

Leiterplatte UPD: 200 mA

Grundplatte UGH: 250 mA

Elektrische Sicherheit bei Netzbetrieb:

VDE 0860 und 0860 Schutzklasse II

Umweltbelastungstemperatur:

-35...+55 °C

Gewicht:

1050 g

Schutzart:

IP 54

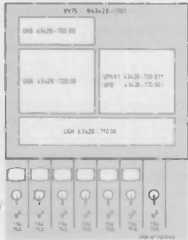


Abb. 4 Blockschaltbild UV 75

UVR 63628-700 00	
UVR 63628-729 81*	TRAC 1 12V
UVR 63628-729 81*	TRAC 2 12V
UGR 63628-710 00	TRAC 3 12V, 15VDC, 15V
UPA 01 63628-729 81*	EINGANG ZV 12V - AUSGANG 12V
UPA 01 63628-729 81*	EINGANG ZV 12V AUSGANG 12V

Abb. 5 Schaltbild UV9

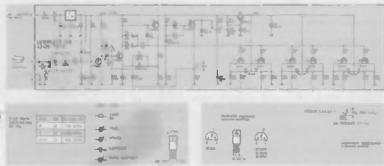


Abb. 5 Schaltbild UV9

M. HUMMEL Einseitenleiterplatten – Technologieauswahl nach qualitativen und wirtschaftlichen Gesichtspunkten

1. Allgemeines

Einseitig kupferschichtete Leiterplatten werden bis heute Rundfunk-, Fernseh- und Videogeräten als Träger der elektronischen Bauteile eingesetzt.

Diese Leiterplatten werden im GRUNDIG Werk 20 bis der Ätztechnik hergestellt und sind bis zum heutigen Tage noch immer die wirtschaftlichsten Leiterplatten. Jeder Geräteentwickler wird bestrebt sein, diese Leiterplatten aus ökonomischen Gründen einzusetzen.

Das Ausgangsprodukt der Ätzware ist einseitig kupferschichtetes Basismaterial. Von der Vielzahl der angebotenen Qualitäten wird zum größten Teil das Phenolharz- oder Epoxidharzpaper eingesetzt.

Der große Vorteil des kostengünstigen Harzpapiers liegt darin, daß das Loch und die Kontur mit nicht gehärteten Werkzeugen ausgestanzt werden kann. Nur in Sonderfällen ist das Ausgangsprodukt ein kupferschichtiertes Gleisgewebe. In diesen Fällen müssen an die Werkzeugherstellung besondere Bedingungen gestellt oder das Lochbild gebohrt und die Kontur gefräst werden. Diese Arbeitsprozesse sind teurer als das Stanzen und für ältereher aus wirtschaftlichen Gründen weniger geeignet.

1.1. Verfahrensablauf

Für das Erstellen der einseitig kupferschichteten Leiterplatten sind im GRUNDIG-Leiterplattenwerk folgende Herstellprozesse installiert:

- Siebdrucktechnik
- Phototechnik

Diese Techniken unterscheiden sich grundlegend voneinander. Der Verfahrensablauf ist jedoch gleich (Bild 1).

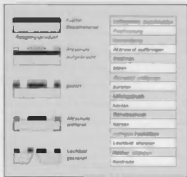


Bild 1: Verfahrensablauf Leiterplatten

Das Ausgangsprodukt ist einseitig kupferschichtetes Basismaterial. Auf dem Kupfer werden die Stäben abgedreht, die das spätere Leiterbild ergeben sollen. Das freiliegende Kupfer wird mit einer Ätzlösung entfernt. Nach dem Entfernen der Ätzresistschicht trifft die Kupferoberfläche gereinigt und getrocknet. Im Siebdruckverfahren wird ein Stopplack aufgedrückt. Lötzugaben und Anschlußpunkte bleiben frei. Ein Kennzeichnungindruck gibt Hilfe beim Bestücken der Bautelemente. Danach werden die Kupferoberflächen geätzt, sorgfältig gereinigt und sofort mit einem Überzug versehen, der das gute Lötverhalten der neuen Kupferoberfläche erhält. Als letzter Arbeitsschritt folgt das Ausstanzen der Lochgruppen und die Konturfräsen.

1.2. Mehrfachnutzen

Jede Leiterplatte kann für sich allein nach diesem Verfahrensablauf erstellt werden. Für die unterschiedlichen Leiterplattengrößen werden hierzu sehr viele Aufnahmesysteme (Maschinen und Anlagen benötigt). Neben hohen Umlaufkosten und auftretenden Fehlern ist mit diesem System keine wirtschaftliche Fertigung möglich. Der Aufbau eines Mehrfachnutzens ist unbedingt notwendig. In dieser Einheitsplatte (siehe mehrere Leiterplatten angeordnet, Bild 2).

Die Einheitsplatte hat folgende Vorteile:

- Hoher Qualitätstandard
- Einheitliches Passiersystem für die Leiterplattenfertigung
- Für mehrere Einzelplatten nur ein Druck
- Hoher Grad an Automation
- Wirtschaftliche Fertigung

Der Standardformat bildet die Grundlage aller Technologien der Ätzware. Ohne diese Einheitsplatte in einer Leiterplattenfertigung ist keine automatisierte und damit wirtschaftliche Fertigung möglich.

Die Grundlage bildet der nun folgenden Technologieauswahl ist das bei GRUNDIG aufgebauten EDT Standardformat.

2. Vorbehandlung und Druckverfahren

Das Standardformat wird aus einer Großplatte herausgearbeitet. Für diese mechanische Bearbeitung gibt es mehrere Verfahren:

- Schneiden auf einer Schlagschere
- Schneiden mit einer Rollerschere
- Sägen
- Ausstanzen

Von diesen möglichen Verfahren sind großtechnisch das Sägen und Stanzen die wirtschaftlichsten Methoden.

Die im Arbeitsablauf folgende Pilotlöchung (Aufnahmehöhe für die Loch- und Konturwerkzeuge) kann gebohrt oder gestanzt werden. Das wirtschaftlichste Verfahren ist das Stanzen der Präzision mit einem Standardwerkzeug. Eine gleichmäßige Qualität ist gewährleistet.

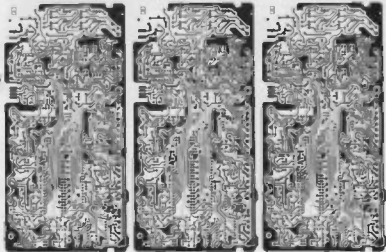
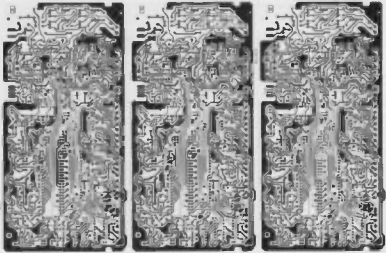


Bild 2: Musterbauteile von Leiterplatten // der Bauteilekatalog

Vor den Druckverfahren muß das pilotgeätzte Basismaterial intensiv gereinigt werden. Hierfür gibt es drei Technologien:

- Reinigen in Bürtmaschinen
- Sprühreinigen im Durchlaufsystem mit desoxidierenden Medien
- Reinigen in Bürtmaschinen mit Lösungsmittel

Das wirtschaftlichste und umweltfreundlichste Verfahren ist das Reinigen in Bürtmaschinen. Die Leiterplatten werden von einer Stahleinheit in die Bürtmaschine befördert, durchlaufen diese und werden danach auf ein Transportsystem abgestapelt.

2. 1. Siebdruck-Technik

Im Siebdruckprozeß wird eine gegenüber der Ätzlösung resistente Druckfarbe auf das Kupfer aufgetragen. Die Druckfarbe bildet den Schutz für das darunterliegende Kupfer. Das Leiterbild wird positiv aufgedruckt.

Zum Einsatz gelangen sowohl Lösungsmittelfarbene als auch alkali-solache Ätzreserven. In der Großserienfertigung in Werk 20 werden die alkali-solachen Ätzsekrete verwendet. Diese sind in ihrer Anwendung sehr umweltfreundlich, da keine Lösungsmittel zum Entfernen benötigt werden.

Der weitere Vorteil besteht darin, daß alkali-solache entfärbbare Ätzresistenzfarben im hältigen Zustand älter sind. Das Auftragen der Ätzresistenzfarbe auf die gereinigte Kupferschicht wird mit Siebdruckschichten im Siebdruckmaschinen durchgeführt.

Noch vor einigen Jahren stellte man großtechnisch die Leiterplatten mit Halbautomaten her und legte die Siebdruckte Platte auf einen Hordenwagen; von diesem wurden die Platten in Ätzmaschinen gelegt. Die Wirtschaftlichkeit wurde durch ein Transportband zwischen Druckmaschine und Ätzanlage erhöht (Bild 3).



Bild 3: Ein halbautomatisches Siebdrucksystem mit einem Transportband, das die Leiterplatten vom Druckbereich zur Ätzanlage transportiert.

Aus den Siebdruckhalbautomaten wurden im Laufe der letzten drei Jahre vollautomatisch arbeitende Siebdruckmaschinen mit Stahleinheit und Abstapelanrichtungen. Eine erste Verbindung zwischen Leistungsdichte und Ätzanlage war der Erfolg. Durch diesen Aufbau erhöhte sich die Wirtschaftlichkeit und die Qualität noch weiter (Bild 4).



Bild 4: Ein vollautomatisches Siebdrucksystem, das die Leiterplatten direkt von der Druckmaschine zu einer Stahleinheit transportiert.

Gegeneüber allen Technologien ist das Siebdruckverfahren das wirtschaftlichste Herstellungsverfahren für Leiterplatten. Der 100 %ige Einsatz schreitet allerdings an den Grenzen der Siebdrucktechnik. Es lassen sich im Siebdruckprozeß großtechnisch Leiterplatten bis zu einer maximalen Leiterbreite von 0,4 mm drucken. Der kleinste Abstand Lötzangennrand zu Lochrand sollte 0,4 mm nicht unterschreiten. Beim Herstellen einzelner nichtdurchkontaktierter Leiterplatten wird aus Gründen der wirtschaftlichen Fertigung bis zur Praxis überwiegend Kupferchlorid als Ätzmittel eingesetzt. Die Regeneration geschieht kostengünstig mit Salzsäure und Wasserstoffperoxid. Der größte Einfluß auf die Wirtschaftlichkeit hat die Ätzgeschwindigkeit und die leichte Regenerierbarkeit.

Das Ätzen mit alkali-solachen Ätzmedien ejder mit Kaliumpersulfat oder Eisen III-Chlorid wird nur einsetzbar, wenn die Platten in Ätzmaschinen gelegt. Die Regeneration ist teuer.

Das Ätzen der Leiterplatten geschieht im Durchlaufätzmaschinen. Durch Gasse-Anordnung ist es möglich, eine direkte Verknüpfung der Arbeitsgänge zwischen Leistungsdruk und dem Ätzen herzustellen. Auch die nach dem Ätzen folgenden Spülprozesse, das Entfernen der Farbe und Rosten erfolgt am gleichen Durchlaufsystem.

Nach dem Trocknen können die Leiterplatten abgestapelt und auf Transportsysteme für den nächsten Arbeitsschritt vorbereitet werden. Der mit der Ätzmaschine verbundene Druckprozeß macht das Verfahren sehr wirtschaftlich.

2. 2. Photodruck

Leiterplatten, bei denen die Leiterbahnen unter 0,4 mm Breite liegen, sind aus wirtschaftlichen Gründen in Siebdrucktechnik nicht mehr zu fertigen. Hierfür ist der Photo- prozeß nötig.

Das präzisionsgerechte Siebdruckverfahren kann aus Gründen der hohen Präzision des Leiterbildes nur begrenzt eingesetzt werden. Nach dem bereits beschriebenen Bürtreinigungsprozeß wird im Photoprozeß ein Photostart aufgetragen.

Zwei grundsätzlich verschiedene Verfahren stehen zur Verfügung:

- Auftragen von Flüssigresist
- Auftragen von Feststoffresist

Für Ätzware hat sich die Flüssigseit Beschichtung durchgesetzt. Das Verfahren Feststofffreies ist für die Großserienfertigung zu unwirtschaftlich.

Zum Auftragen des Flüssigseit eignen sich Roller-coating Maschinen. Diese Anlagen sind mit einer automatisch arbeitenden Transporteinrichtung versehen. Die aus der Röhrengangsanlage kommenden Leiterplatten werden über ein Transportsystem in die Walzenlackiermaschine geführt. Der Photoseit wird durch die Auftragswalze auf das kupferschichtete Basismaterial übertragen. Nach einer Infrarotabstrahlung mit anschließender Kühlzone werden die Leiterplatten direkt zum Belichten befördert. Der Belichtungsvorgang wird in manueller zu bedienenden Anlagen durchgeführt und danach die Platten in Durchlaufentwickelungssystemen entwickelt, die Leiterplatte mit Kupferchlorid gestaut und der als Ätzseit dienende Photo-Lack gestopft (Bild 8).



Bild 8: Verarbeiteter Photo-Lackauftrag

Trotz des verhältnismäßig hohen Prozesskostensatzes ist das Photoverfahren teurer als die Siebdrucktechnik. Die Ursache liegt darin, daß der Photoseit sehr teuer ist und der Arbeitsprozeß in vollumluftgetrennten und staubfreien Räumen durchgeführt werden muß; ebenso ist die Produktivität gegenüber dem Siebdruckprozeß geringer.

Ein Kostenabschneidpunkt ergibt sich allerdings bei der Fertigung von kleinen Stückzahlen. Auch Leiterplatten mit Leiterzügen über 0,4 mm Breite können wirtschaftlich im Photoprozeß gefertigt werden, wenn das Verhältnis Siebherstellung zu Photoprozeß kalkuliert wird. Der Schnittpunkt kann bei 20 – 25 Platten liegen.

2.3. Lötabop – Servicedruck

Neben elektrischen Gründen wird ein Lötabopdruck auf einsitzige Leiterplatten aufgebracht, um beim späteren Einbau der Bauteile den Lötabopverbrauch gering zu halten. Die Kosten des Lötabopdrucks sind geringer als der eventuelle Lötmehrverbrauch.

Nach dem erneuten Bürsten der geätzten Leiterplatten wird der Lötabopdruck im Siebdruckverfahren aufgebracht.

Drei grundsätzlich verschiedene Lötabopplaetze stehen zur Verfügung:

- Einkomponentenlötabop
- UV-Lötabop
- Zwei-Komponentenlötabop

Sagt einige Jahren hat sich der UV-Lötabopdruck als wirtschaftlichstes und umweltfreundlichstes Verfahren herausgestellt. Die verwendeten Lacke sind lösemittelfrei und man erreicht gleichmäßiges Leckfilm-Trockenschichten; ebenso ist die aufzuwendende Trocknungsentfernung geringer als bei Infrarotabstrahlungslacken. Die Leiterplatten werden nicht so hoch erhitzt und lassen sich demzufolge besser stanzen. Gleiche Vorteile wie beim Lötabopdruck gelingen auch bei Service- oder Montage druck.

Nach dem Lötabop- und Montagedruck wird die Leiterplatte gebaut und die gereinigte freie Kupferoberfläche sofort mit lösbarer Lacke oder einer Zn/Ni/Bi-Schicht geschützt. Der gesamte Arbeitsprozeß geschieht in Durchlaufanlagen.

Alle aufgezeigten und dargestellten Technologien sind in der heutigen Produktion mehr oder weniger miteinander verknüpft (Bild 9).

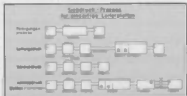


Bild 9: Schematische Darstellung des Arbeitsschritte für einsitzige Leiterplatten

Am Beispiel der Siebdrucktechnik soll gezeigt werden, welche Möglichkeiten weiterhin bestehen, um die Wirtschaftlichkeit zu erhöhen.

Wie aus Bild 7 ersichtlich, kann eine Verkürzung aller Anlagen durchgeführt werden. Die Automatisierung wird erhöht.

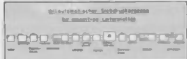


Bild 7: Automatisierter Siebdruckprozeß für einsitzige Leiterplatten

Am Anfang der Bürstablätzung werden die Leiterplatten gestapelt und durchlaufen danach alle Arbeitsprozesse bis zum Oberflächenbeschichtung ohne jegliche Zwischenabstapelung. Neben den kurzen Durchlaufzeiten und der wirtschaftlichen Fertigung trifft die Qualität der Leiterplatte verbessert (Bilder 8 – 12).

3. Stanzen – Bohren – Fräsen

Das Stanzen ist die klassische Methode der Formgebung und die Herstellung von Löchern für Bauteile in Leiterplatten in der Massenproduktion. Beim Einsatz von Hartpapier und Epoxidharz bietet dieses Verfahren zum Stanzen der Löcher, von Ausschnitten und der Außenkontur bei hohen Stückzahlen die Gewähr für eine kostengünstige und rationelle Fertigung. Phenolharz- und Epoxidharzguss ist für die Leiterplatten der Ätztechnik einwandfrei stanzzbar.



Bild 9: Luftungsanlage und Klimastraße



Bild 10: Werkstatt für Leiterplattenproduktion Löttechnik und Montage



Bild 11: Durchfutterungstechnologie



Bild 12: Bohren und Schrauben im Stanzwerkstattbau



Bild 13: Transistorerprobung zwischen Abmessungen und Leistungsfähigkeit

Gesetzte Leiterplatten werden nur dann gebohrt und gefräst, wenn kleine Stückzahlen gefertigt werden. Aus diesem Grunde ist man bestrebt, die Wirtschaftlichkeit der Stanztechnik zu erhöhen.

Vom System der manuellen Bedienung einer Stanzpresse aus entwickelte man das Automatenstanzsystem (Bild 13).

6. Kontrolle

Nach dem Ausstanzen der Leiterplatten wird die Endkontrolle durchgeführt. Das Kontrollsysteem sind möglich:

- Stichprobenkontrolle
- Optische Vollprüfung
- Elektrische Kontrolle

Die optische Vollprüfung und Stichprobenkontrolle eignen sich dann, wenn einfache Leiterplatten getestet werden. Kritische Leiterplatten werden am kostengünstigsten elektrisch geprüft und einer optischen Nachprüfung unterzogen.



Bild 13: *Yucca whipplei* Schubert

Vier neue Fachbücher aus dem Francis-Verlag
München

Basic: Die perfekte Behandlung von Zechenkrämpfen
Eine Software-Sammlung in Basic. Von Rudolf Busch. 80 Seiten, 13 Abbildungen. Lernzettel-kartoniert DM 19,-/D
ISBN 3-7723-7561-0

Basic - Mathematik per Computer
Eine Software-Sammlung in Basic. Von Rudolf Busch. 133 Seiten, 32 Abbildungen. Lwrrt-Turboorientiert. DM 19,80
ISBN 3-7723-7841-3

Basis-Zahlen-Umwandlungen

Eine Software-Sammlung in Basic. Von Rudolf Busch. 55 Seiten, 8 Abbildungen. Lwstr. Kartonwert DM 18,80
ISBN 3-7723-7561-8

Was ist Alles über PEEK und POKE

Eine Software-Sammlung in Basic. Von Heiko Requardt.
70 Seiten, 8 Abbildungen. Lwstr.-kartoniert DM 16,90
ISBN 3-7723-7531-6

Nachdem der junge Computerenthusiast die Programmiersprache Basic eingespielt hat, steht er an einem Scheideweg. Entweder er verlässt sich in altertümlichen Speziesen, oder er sucht nach einer nützlichen Anwendung seiner Maschinen- und seiner Programmierkenntnisse. Für den letzteren Fall erscheint intuitiv auf seinem Monitor ein williges Menu: Was sich die alten arbeiten! Dagegen ist es weit in das Profilheft fangen und der Erstziger fürchtet sich von der Problematik einfach niedergeworfen zu werden.

Gerade für das begrenzte Feld, das zu Hause bespielt werden kann, ist das Angebot der Franklin-Computer-Bibliothek das Richtige. Sie zeigt, was der junge Programmier machen kann. Es braucht nur zuzugreifen. Sehen wir uns die vier neuen Bände einmal kurz an.

Basic: Die perfekte Behandlung von Zeichenketten
Der Lesser kennt das Alterspräfix von Zeichenketten unter allen denkbaren Gesichtspunkten. Das reicht von der Zeichenverlegung über ein System von Bestell-Nummern bis zur Textdegradation. Dabei erhält er ganz automatisch die richtige Routine.

Basic: Mathematik per Computer Welche Möglichkeiten bieten sich hier an, stumplärrige Zeilenreihenabzüge auf den Rechenkalkül Computer abzuwenden? Man muß nur wissen, wie die entscheidenden Formeln basicgerecht umzuwandeln sind! Das kann nach einer gewissen Programmieraufmauer im banalen Tageesschram erhebliche Erleichterungen bringen.

Basic: Zahlen-Umwandlungen: Von der Zu-Fuß-Methode: Dezimalzahlen in Binärzahlen über das Hexadezimaleinsystem oder Octal-Dekmalensystem ist in diesem Band alles dargestellt. Zum Schluss machen Sie sich dann ein Programm, mit dem Sie Ihren Computer in eine Universal-Rechenmaschine verwandeln. Herr, was jetzt Du meintest?

Etwas aus der Reihe fährt der Band **Basic**: Alles über PEEK und POKE. Aber das schadet gar nichts, denn diese Befehle sind Leckerbissen für den Home-Computer-Anwälger! Mit diesen Sonderbefehlen erforschen Sie das Innere Ihrer Maschine und erreichen sie erst richtig zum Leben. Diese Entdeckungsreise in den Computer befriedigt die Neugier und den natürlichen Wissensdurst des Anwenders. Sie findet in Basic statt und ist eine frappierende Anwendung! Lassen Sie mich überraschen.

Eines muß gesagt werden: Fix und fertige Lösungen sind in diesen Rändern nicht zu finden. Auch eine vollständige, restlose Abarbeitung des jeweiligen EDV-Problems mit allen Schülern finden hier nicht statt. Aber! Und jetzt kommt das entscheidende Aber: Schritt ha Schritt wird der junge Computerenthusiast an sein EDV.-Problem heran- und hineingeführt. Darauf kommt es bei diesen Büchern an und das ist mitnehmen!

Diese vier Bände werden sich dem Erfolg der ersten sicherlich anschließen. Und wir sind überzeugt, der Verlag hat die Fortsetzung bereits in den Schublade.

R. EMSLANDER Sono Clock 1000 Clima-Meter



Bild 1 Sono Clock 1000 Clima-Meter

Mit dem Sono Clock 1000 Clima-Meter (Bild 1) brachte GRUNDIG eine Wellen- und Wetterstation auf den Markt, die in ihrer Detailsausstattung einzigartig ist. Das Kundenspezialistisch erstellte Display allein bietet eine Informationsfülle, deren Einzelheiten spärend erfragt werden.

Die bewährte Liniendarstellung des beiden Vorgängertypen Sono Clock 800 und Sono Clock 810 (mit Sprachgeneratoren) wurde beibehalten.

Rückwärts, Vorausgesetzt, das Gerät ist mit einer 9-V-Stützbaterei bestückt, wird auch bei Netzaustritt per Alarnton geweckt. Es ist unerheblich, in welcher der beiden Weckstellungen sich der Funktionsschalter 1 befindet. Um auch bei Dunkelheit darüber informiert zu sein, welche Funktion gewählt wurde, wird das dazugehörige Symbol auf dem kleinen Displayrand angezeigt.

Bei der RESET-Taste 2 auf der Oberseite des Gerätes sind



Bild 2 Sono Clock 1000 Clima-Meter Verstärkerfeld

Die Bilder 2 und 3 erleichtern das Verständnis der folgenden Bedienungsanleitung. Mit dem Funktionsschalter 1 wird das Radio ein- bzw. ausgeschaltet. In der dritten Schaltstellung befindet sich das Sono Clock 8s Weckbereitschaft per Rundfunkweckvorgabe. Die unterste Schaltstellung ermöglicht die Wiedergabe des ununterbrochenen Alarmtons über den Pseudo-Schwingen 25 an der Geräte-



Bild 3 Sono Clock 1000 Clima-Meter Displaysymbol

meinungs Schaltvorgänge möglich. Die wichtigste ist – da hier die großflächige Gestaltung der Taste – während des Weckvorganges des Unterbrechen des Rundfunkempfangs bzw. des Alarntones für 10 Minuten. Nach dieser Pause schaltet sich das Gerät wieder ein. Der Wechselvorgang kann innerhalb 60 Minuten ständig von neuem ab-

startet werden. Eine Stunde nach dem erstmöglichen Einschalten verlässt der Wecker die Alarmfunktion und meldet sich erst am nächsten Tag wieder, vorausgesetzt, der Kipphobel 1 steht in der richtigen Stellung. Ist eine zweite Weckzeit eingespielt, so wird zwingendlich auch zu dieser Zeit noch oben beschriebener Ablauf gewählt. Wird mit dem getakteten Alarmton geweckt, so schaltet sich das Gerät nach längeren vier Minuten Weckdauer von selbst ab, eine Weckwiederholung ist dann nicht mehr möglich.

Eine weitere Einsatzmöglichkeit der RESET Tasten ist das vorzeitige Beenden des Schummerbetriebes. Mit der Taste 4 wird durch kurzes Betätigen des Rundfunktes für die Dauer von 10 Minuten eingeschaltet. Bleibt die Taste anhaltend gedrückt, erhöht sich die Einschlafzeit in Schritten von jeweils 10 Minuten bis maximal 60 Minuten. Die eingesetzte Spieldauer wird dabei auf dem Display angezeigt. Soll während des Schummerbetriebes die noch verbleibende Spieldauer abgezählt werden, so genügt wiederum nur ein kurzes Antippen der Taste 4 und die Restspieldauer wird auf dem Display ersichtlich.

Eine zusätzliche Funktion der RESET-Taste ist das Lösen von nicht erwünschten Wecktagen, doch hierzu ist folgendes mehr:

Bei Netzausfall versiechen die vier Lämpchen, die das Display beleuchten. Um das Ablesen von Uhrzeit und Wetterdaten trotzdem zu ermöglichen, werden nun beim Niederdrücken der RESET-Taste über eine elektronische Entkopplung nur zwei Lämpchen mit reduziertem Strom versorgt. Diese Notbeleuchtung belastet die Batterie nicht übermäßig.

Mit dem Tastschalter 3, der nach dem Loslassen in die Mittelstellung zurückfällt, können zwei verschiedene Weckzeiten programmiert werden. Diese können den einzelnen Wochentagen beliebig zugeordnet werden. Zur näheren Erklärung ein Programmierbeispiel: Es soll die Weckzeit 1 = 8 Uhr 20 den Tagen MO, DI und FR zugeordnet werden. Zunächst wird der Tastschalter 3 in der oberen Stellung (entsprechend Weckzeit 0) festgehalten. Mit der Taste H 8 werden nun die Stunden eingegeben, jedem Tastendruck folgt die Erhöhung um eine Stunde der auf dem LCD angezeigten Zeit. Wird anschließend die Taste min. 7 anhaltend betätigt, so werden die Minuten in Fünfer-Schritten eingegeben, bei nur kurzem Tastendruck einzelne Minuten. Statt nun die Weckzeit 8:20 auf dem Display, wird immer noch unter Beibehaltung der oberen Taststellung von 3, die Taste TAG 6 kurz gedrückt. Es erscheinen alle Wochentage, wobei MO blinks. Dieser Intervall bedeutet, daß der jeweilige Tag getroffen oder programmiert werden kann. Um bei unserem Beispiel zu bleiben, wird nun zweimal die 5 gedrückt, so daß MO blinks. Mit dem folgenden zweimaligen Niederdrücken von RESET 2 versiechen MI und DO, FR blinks. Da am Freitag Wecken erwünscht ist, wird mit Drücken von TAG 6 weitergeschaltet auf SA. Mit zweimaligem Niederdrücken von RESET werden SA und SO getroffen. Nun darf der Tastschalter 3 losgelassen werden. Wird er zur Kontrolle nochmals nach oben gehalten, erscheinen auf dem Display die Zeit 6:20, die drei Wochentage MO, DI und FR und in der rechten unteren Ecke das Symbol für die Weckzeit 1. Zum Aktivieren der Weckfunktion wird der Kipphobel 1 in eine der beiden Alarmstellungen gedreht. Die Weckzeit 2 wird nach dem gleichen Schema eingesetzt. Das zugehörige Symbol ist

Die aktuelle Uhrzeit wird nach o. g. Beispiel die Zeitangabe programmiert. Anstelle des Tastschalters 3 ist lediglich die Taste B anhaltend zu betätigen. Die Uhr startet szenariengerecht (z.B. bei einer Zeitanzeige nach dem Loslassen von B).

Zum Setzen des Wochentages wird wieder anhaltend B gedrückt und TAG 6 so oft betätigt, bis die aktuelle Zeitangabe auf dem Anzeigefeld erscheint.

Beim Wechsel von Normal- auf Sommerzeit und umgekehrt war es bei Uhren bisher immer notwendig, erstens die neue Zeit einzustellen und zweitens die Uhr stundenweise nach der Zeitanzeige neu zu starten. Bei der Sono Clock 1000 ist erstmals die Standardkonstruktion mit dem Drehschalter 8 realisiert worden. Der Sekundenverlauf wird dabei nicht beeinträchtigt. Die Bezeichnung NOR/ST steht für Normalzeit, ST für Sommerzeit (Sommerzeit). In Stellung Sommerzeit erscheint im Display gleichzeitig der Hinweis ST.

An der mit 10 beschrifteten Stelle ist in die Wetterstation ein funktionsbares Spindelpotentiometer eingebaut, mit dem die barometrische Ortsdruckkorrektur vorgenommen wird. (Dazu wird später erklärt)

Bei den vier folgenden Tasten können die gewünschten Wetterdaten abgerufen werden. Die Taste INT °C ruft die Temperatur am Standort der Sono Clock ab, wogegen EXT °C die Temperatur des externen Thermo-Sensors auf Anzeige bringt. Beim Betätigen der Taste mb/HPa 13 wird der auf Meereshöhe bezogene Ortsluftdruck eingezeigt. Die Abkürzung mb steht dabei für Millibar, HPa für Hektopascal. Beide Einheiten haben die gleiche Größenordnung, HPa ist zur internationalen Verwendung einfacher geworden.

Mit der Taste 14 kann die relative Luftfeuchtigkeit abgelesen werden, auf deren Bedeutung ebenfalls später eingegangen wird.

Wie bereits angekündigt, wird das Display mit vier Lämpchen beleuchtet. Die Lichtstärke stellt sich abhängig von der Umfeldhelligkeit ein. Dadurch kann das Anzeigefeld gleichmäßig gut ablesen werden. Ein Fotowiderstand 15 misst das Umlicht und steuert über eine Elektronik die Helligkeit der Lämpchen. Es sei hervorgehoben, daß auch bei Batteriebetrieb (Netzausfall) die Helligkeitsregelung in Funktion bleibt. Mit dem Einstellen 16 wird im dunklen Raum die Grundhelligkeit vorgegeben.

Die weiteren Bedienelemente auf der Vorderseite des Sono Clock's betreffen den Rundfunkteil. Es sind dies links die Wähler zur Lautstärkeneinstellung 17, symmetrisch dazu auf der rechten Seite die Klängewaage 19 mit dazwischen angeordneten sechs FM-Fest-Sintonstellen 18.

An der Rückseite des Sono Clock's befinden sich etwa mit angeordnete die 6 Rändel 20 zum Einstellen der FM-Sender die FM-Wurlantenne 21 und der Anschluß 22 für einen Kopf-/Kleinhörer mit 3,5-mm-Klinkenstecker. Mit 23 ist der Thermo-Sensor beschriftet, der die interne Temperatur misst. Eine Kunststoffkammer hält ihn an seinem unteren Ende an der Gehäuserückwand fest. Bedingt durch die unvermeidliche Thermo-Strahlung des Gehäuses misst der Sensor eine geringfügig höhere Temperatur (ca. 1°) als die der Umgebung entsprechenden Es läßt sich jedoch die Kunststoffkammer mühelos aus der Rückwand ziehen. Wird nun der Thermo-Sensor um seine Füße gewandert, längs vom Gehäuse abgewendet, dann ist eine echte Messung der Umgebungstemperatur ohne Gefahr einer Fälschung gewährleistet.

In der linken unteren Ecke ist der Steckanschluß für den externen Temperatur Sensor 24.

Schaltungsbeschreibung

1. Rundfunkteil

Der Rundfunkteil im Sono Clock 1000 ist vollkommen identisch mit dem im Sono Clock 800 bzw. 810. Das 3-Transistor-Mischfeld empfängt die HF über die fest montierte Wurzelantenne, die je nach Empfangslage am Aufstellungsorit des Radios zu die günstigste Lage gebracht werden kann. Mit den Spindelpotentiometern können sechs unterschiedliche Sender gesucht und per Tastendruck – dabei wird die HF-Muting aktiviert – abgerufen werden. Die Betriebsspannung für den HF-Teil stabilisiert die 12-V-Z-Diode, die bereits im ZF-IC TDA 1205 integriert ist. Dies am Pin 8 gewonnene NF-Signal gelangt über die Muting Stufe sowie die Klang- und Lautstärkesteller an den NF-IC. Die Chassisplatte kann wechselweise mit zwei verschiedenen IC's bestückt werden. Es sind dies der Dual in-line-IC TDA 1905 bzw. der Single in-line-IC TDA 1037 mit der jeweils dazugehörigen Bauelementengruppe. Die IC Endstufen geben am 8-Ωm Lautsprecher eine Sollentlastung von 7 Watt ab.

2. Wetterstation

2. 1. Anzeigeeinheit

Um neben den Schaltzuständen des Sono Clock's die Uhrzeit und die verhältnismäßig Symbol zu eindeutigen Ablesen des Wettergeschehens zu ermöglichen, kam nur ein Flüssigkristall-Display in Frage. Ein solches stellt Zeichen dar, die bis ins Fixgrane übergehen (Bild 4).



Bild 4: Display ohne Blende. 1988 Datenblatt

Bei der Sono Clock 1000 wird ein transaktives Display eingesetzt. Das Anzeigenfeld erscheint im nicht angesteuerten Zustand als dunkle Fläche. Die Flüssigkristallzelle zwischen den beiden Glasscheiben legt ohne elektrisches Feld eines parallel zur Glasoberfläche. Das Licht wird beim Durchgang durch die Zelle in seiner Polarisation um 90° gedreht. Wird ein Segment mit einer entsprechenden Spannung beaufschlagt (siehe 2.9), so richten sich die in ihm befindlichen Moleküle senkrecht zur Sichtfläche auf, die 90°-Drehung des Lichtvektors wird aufgehoben und der Lichtweg einer hinter dem Display angebrachten Beleuchtung wird begrenzt.

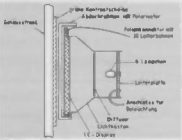


Bild 5: Lichtkreislauf

Viele ausführliche Versuche waren notwendig, um eine geeignete Lösung zu finden, die es ermöglicht, ein Display in dieser Größe gleichmäßig ohne Lichthecken bzw. Schattenstellen im Abhängigkeit des Umfeldhelligkeits auszuleuchten. Die hier nun verwendete Lösung hat sich als die geeignete erwiesen (Bild 5).

Das Rückgrat der Anzeigeeinheit bildet die Lichtplatten. Um eine gute Reflexion des Strahllichts der Lampchen zu ermöglichen, ist dieser aus weiterem Novodur gefertigt. Auf der Rückseite des Lichtplatten wird eine weiß bedruckte Platte eingeschraubt, auf der sich in gleichmäßiger Anordnung vier Lampchen mit den Werten 8V/78 mA befinden. Um diese Lichtquellen nicht als Leuchtpunkte auf dem Display erscheinen zu lassen, ist dies durch eine milchig trübe Streuscheibe, der sog. Diffusor. Auf diese Weise wird eine homogene ausgeteilte Fläche erreicht. Als nächstes folgt die eigentliche Anzeigeeinheit: das LC-Display. Dieses wird über der Diffusor von der Vorderseite des Lichtplatten her eingeleuchtet. Der Abdeckrahmen umschließt das Display, er wird über Schnapper auf den Lichtkasten gefügt. Im Abdeckrahmen liegt von vorn kleinen Resistenzen gehalten, die Polarisationsfolie.

Mit dem LC-Display lassen sich beinahe sämtliche Farben der Anzeige realisieren. In Laboruntersuchungen und Displays mit den verschiedenen Farbgebungen versucht worden. Die Entscheidung fiel schließlich zugunsten einer grünen Kontrastscheibe, die als separates Element in die Frontplatte des Uhrengehäuses eingeklebt ist.

2. 2. Stabilisierung der Betriebsspannungen

Grundsätzlich ist zu sagen, daß aus Gründen einer thermischen und Langzeitstabilität der geforderten Daten nur Metallsechzehnerdstände, teilweise mit eingeschränkter Widerstandskontrolle, eingesetzt werden.

Für die Stabilisierungsschaltungen ergab sich die Präferenzstellung, daß die Last zwar relativ konstant, die Eingangsspannung sich aber in sehr großem Maße ändern kann. Vorrangig ist der Netzbetrieb, bei dem Spannungsschwankungen vollkommen ausgeglichen werden müssen. Den Netzauflauf überträgt der Batterienetzteil, wobei sinkende Batteriespannung und geringer Stromverbrauch zu berücksichtigen seien. Um die Lebensdauer zu erhöhen und eine ehemaligen konstante Spannung zu erhalten, wird dem Verbraucher empfohlen, nur Akku-Batterien nach IEC 88 6.UF 22 einzusetzen.

2. 2. 1. Stabilisierung für LCD-Beleuchtungs-Spannung

Die im Scheibteil als Endprodukt wiedergegebene Stabilisierung in Verbindung mit der Helligkeitseinstellung läßt die Probleme kaum erkennen, die es zu bewältigen gilt. Allerdings zur Entlastung, ob vier Transistoren verwendet werden, war es ein langer Weg, verschiedene Ausführungen von Lichtleitern, LED's u.ä. wenn die Wirkungsweise. Bei Netzbetrieb wird die Lampenspannung durch Zwischenwiegenschaltung der Sekundärwechselspannung und anschließende Stabilisierung mit D 408 2 8,8V gewonnen. Mit R 407/R 411, R 408, R 409 wird der Arbeitpunkt der beiden Kleinleistungstransistoren vorgegeben. Mit dem Potentiometer R 409 wird die gewünschte Grund-(Mindest-) Helligkeit in einem abgedunkelten Raum eingestellt. Mit zunehmender Helligkeit steigt der Fotowiderstand R 411 niederohmiger, erhöhter Basisstrom sorgt so die Transistoren T 402/403 auf und die Lampen brennen heller. Die Widerstände in den Basisleitung entkoppen die beiden Transistoren.

Bei Netzausfall verloschen die Lämpchen. Wird nun zum Ablese des Displays die RESET-Taste gedrückt, wird die Basis des PNP Transistor T 401 über R 403 nach Masse gelegt. Der Transistor wird leitend und lädt einen Strom durch die beiden Lämpchen LA 2 und LA 3 auf. Der Strom wird durch zwei Kriterien begrenzt. Erstens bestimmt der Vorwiderstand R 401 = 8,8 Ohm den maximalen Strom und zweitens ist in diesem Betriebszustand die Helligkeitsregelung als Stromreferenz; nach wie vor im Betrieb über das niederschrichtige Kühlwendel der Parallelschaltung von LA 2 und LA 4 liegt genug Strom, um den veränderlichen Widerstand des Fotosensors wirkeln zu lassen.

Über D 402 wird die Basis von T 401 **bei** Netzbetrieb mit positiver Spannung beaufschlagt, die den Transistor sicher spannt – auch **bei** gedrückter RESET-Taste. Dadurch wird verhindert, daß LA 2 und LA 3 zusätzlichen Gleichstrom erhalten, was zu einer Helligkeitszunahme führen würde.

2. 2. 2. Stabilisierung der 5,6-V-Spannung

Der gesamte Analogteil inklusive des A/D Wandlers μPD 7001 C wird mit der hochstabilen Spannung von 5,6 V betrieben. Die Festigkeit der Spannung ist wichtig, da bei der Auswertung aller Wetturdaten mit Gleichspannungsverstärkern gearbeitet wird. Eine instabile Versorgungsspannung würde die Meßergebnisse verfälschen. Die Größe der Spannung resultiert aus folgender Überlegung:

- Die Grenzbelastungsspannung für den A/D-Wandler beträgt 7 V; für den Normalbetrieb muß ein Sicherheitsabstand eingesetzt werden
- Bei Batteriebetrieb beträgt die Spansspannung nominal 3 V und kann bis 2,5 V bis 5 V abrutschen (bei der vorgeschriebenen Alkali-Zelle ist dies erst nach ca. einem halb Jahren Überdauerbetrieb der Fall)
- Je höher die Betriebsspannung, desto höher ist die gewonnene Brückenspannungsspannung des Drucksensors; desto kleiner kann die Gleichspannungsverstärkung sein.

Als Referenzspannungsquelle wird die **bei** ZTK 6,8 eingesetzt, die einen fest definierten Zu-Niedrig aufweist. Der Arbeitpunkt wird dadurch stabilisiert, daß der Strom konstant gehalten wird und als Folge davon keine thermischen Schwanungen auftreten. Die Konstantstromquelle bildet der Transistor T 200 mit den beiden Dioden D 206/207 und den Widerständen R 200 und R 208. Beim Netzbetrieb wird die gesamte Wartestation ständig mit Strom versorgt. Eingespannt wird **über** den Schalttransistor T 202, der wiederum von T 201 angesteuert wird. Dieser erhält seinen Basisstrom letztlich aus der Einwegrichtung der Transistor-Überspannung mit Diode D 205. Slewzeitwiderstand R 204 und Siebkondensator C 219. Mit den Dioden D 208/209 wird der Mikrocomputer entkoppelt.

Da die verwendeten Operationsverstärker LM 324 N einen nur sehr geringen Ausgangstrom liefern können, ist ihnen jeweils am Transistor nachgeschaltet. Thermisch bedingte U_{BE}-Schwanungen werden durch die starke Gegenkopplung ausgeglichen.

Am Emitter des Transistors T 204 steht am Messpunkt M 3 U_{AB} = 1,8 V, wenn mit R 208 die U_{BE} = 5,6 V eingestellt ist. U_{BE} bedeutet Spannung Analog Ground und stellt den Messbezugspunkt für den analogen Schaltungsnetz der A/D Wandler dar zur Spannungsauswertung Bezug auf dieses U_{AB} (Pin 16). Prinzipiell wäre es auch möglich, Analog Ground durch die rechte Gerätemasse zu er-

setzen. Beim Abgleich des «Line-Meter» ist es jedoch notwendig, vorab einen Null Abgleich (Offset Abgleich) durchzuführen. Das ist in der Praxis nur möglich, wenn man mit dem Schieber des entsprechenden Einstellers durch Null fährt, d.h. den Übergang von Minus nach Plus übersteigt. Beim Null-Abgleich ohne diese Maßnahmen bleibt die keine Kupplungsbahn und kein Potentiometer Fußpunkt widerstandlos ist, immer Restspannungen übrig, die hier die Anzeige verfälschen würden.

Als Kriterium für die messteil zutreffende Analogspannung (dies entspricht einer Inaktivierung aller acht bits des Ausgangsausgleis) wird dem A/D-Wandler am Pin 15 eine Referenzspannung zugeführt, die aus dem 2 %-igen Widerstandsteiler R 217/234 zwischen U_B und U_{AB} abgesertet wird.

2. 2. 3. Aufbereitung der μC-Betriebsspannung

Die Funktion des One-Chip Mikrocomputers ist ein Spannungsbereich zwischen 2,6 V und 3,4 V vorhergestellt. Seine typische Stromaufnahme beträgt dabei 15–45 µA. Die μC-Betriebsspannung entspricht auch der Spannung, mit der das Flüssigkristall-Display betrieben wird. Um unter Einhaltung aller Toleranzen die Anreize von nicht angedeuteten Segmenten garantiert zu unterbinden, wird die Spansspannung auf 2,9 V eingestellt. Wie aus oben genannten Grenzwerten zu erschließen, arbeitet der μC über einem eng tolerierten Bereich. Dies erfordert eine gut ausreichende Stabilisierung, wenn man die großen Schwankungen der Versorgungsspannung berücksichtigt. Beim Netzbetrieb können bis zu 17 V, bei Batteriebetrieb dagegen maximal 7,5 V auftreten.

Begibt man seine Überlegungen mit dem Einsatz von Z-Dioden, wird man sehr bald feststellen, daß es **bei** einer Spannung von 3 V nicht möglich ist, einen scharfen Kennlinienbruch zu erhalten. Zudem gibt es die Dioden nur mit bestens 2 % Spannungsabweichung. Bezieht man nun auch noch den Temperaturkoeffizienten in die Rechnung mit ein, dann ist sehr schnell der zulässige Grenzwert des μC überschritten. Z-Dioden arbeiten außerdem mit einem relativ hohen Querstrom, der beim Batteriebetrieb die Lebensdauer der Spannungsquelle drastisch reduziert.

Als im Endeffekt sehr einfache Lösung ergab sich eine Schaltung, **bei** der ein handelsüblicher FET (Feldeffekttransistor) den Basisstrom für den Langstrangstorler liefert. Wird ein Laststrom von I_L = 50 µA und eine Stromverstärkung des des T 209 von nur B = 4000 angenommen, so ergibt sich ein Basisstrom von

$$I_B = \frac{I_L}{B} = \frac{50 \mu\text{A}}{4000} = 0,125 \mu\text{A}$$

Diesen Strom liefert der FET aus seinem Source-Anschluß. Über das U_{BS} wird mit dem Einsteller R 282 letztlich die μC-Spannung reguliert. Es ist leicht einzusehen, daß der Querstrom in dieser Stabilisierungsschaltung außerordentlich gering und daher zu vernachlässigen ist.

Ein Netzausfall wird dem μC dadurch mitgeteilt, daß die Spannung am Pin 7 von LOW auf HIGH geht. Diese Schaltfunktion übernimmt der Transistor T 212, dessen Basis von der unter 2. 2. 2. erwähnten gleichgerichteten Sekundärspannungsspannung versorgt wird.

2. 2. 4. Temperatur-intern-Auswertung

Ein Silizium-Planar Widerstand mit positivem Temperaturkoeffizienten arbeitet als Fühler. Sein Nominalwiderstand **bei** 25 °C beträgt: $\text{ND} \pm 2\%$ (Bild 6). Der Strom durch den Sensor liegt auf etwa 1 mA eingestellt, woraus sich eine Verlustleistung von 1 mW ergibt. Eine ansteigen-

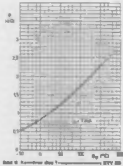


Bild 6 Kurve des Temperatur-Sensors KTY 83

die Liniengleichung der leicht gefüllt verlaufenden Sensorscharfe wird durch das Widerstandsnetzwerk erreicht, in das der Fühler integriert ist (Bild 7). Die temperaturbedingte Widerstandsänderung zeigt sich als variable Spannung am Schiefer des Offset-Einstellers R 220. Mit den folgenden Serienwiderständen R 249/R 252 wird unter Berücksichtigung des Rückkopplungsverstärkungsfaktors $\beta = 259$ am OP IC 202 die Spannungsverstärkung vorgegeben. Bei einem angenommenen Mittelwert von $R = 249 = 10 \text{ k}\Omega$ ergibt sich

$$|V| = \frac{R_{250}}{R_{249}} + R_{252} = \frac{100 \text{ k}\Omega}{5 \text{ k}\Omega} + 12 \text{ k}\Omega = 5.88$$

Bedingt durch die oben erwähnte PTC-Charakteristik des Sensors Widerstandes und dem folgenden Widerstandsnetzwerk muß die Signalspannung auf den invertierenden Eingang des OP's geführt werden, um am Ausgang die gleiche Spannung bei zu messender steigender Temperatur zu erhalten.

Die zweite Spannung, die dem invertierenden IC-Eingang beigebracht wird, legt den Anfangswert des zu messenden Temperaturbereiches fest. Der Abgleichsvorgang wird in Abschnitt 3 besprochen.

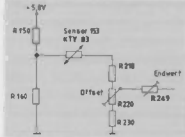


Bild 7 Realisierung des Meßkreises für die interne Temperaturüberwachung

2.4. Temperatur Extern Auswertung

Der externe Sensor, der über eine 5 m lange Zweiflingsleitung mit dem Sono Clock 1000 steckbar verbunden wird, erfordert eine zweite Temperatur. Bei Bedarf kann die vorhandene Leitung um ab. 10 m verlängert werden, wobei

aber der Drahtquerschnitt nicht geringer als bei der begrenzten Leistung ausfallen darf. Andernfalls würde durch den erhöhten Leitungsgegenwiderstand eine höhere Extrem-Temperatur vorgetäuscht.

Um die externe Temperatur zu messen, wird der gleiche Sensor-Typ wie für die Intern-Temperatur verwendet. Die Schaltung ist aus zweier Gründen anders ausgelegt. Erstens ist der Maßbereich größer. Er erfordert Temperaturländerungen von -40°C bis $+87.8^\circ\text{C}$ gegenüber -10°C bis $+41^\circ\text{C}$ im Intern-Temperaturmaßbereich. Allerdings ist die Auflösung nur 0.8°C im Gegensatz zu 0.2°C , was letztlich der µC rechnerisch aufbereitet.

Der zweite Punkt, der eine andere Dimensionierung erfordert, ist folgender:

Bedingt durch das Platinen-Layout und die Verwendung von 4-fach OP's LM 324N werden für die Extern-Temperaturauswertung zwei OP's verwendet, die sich im intern befinden, der auch die 8.8 V Betriebsspannung stabilisiert. Aus diesem Grunde liegt der IC an der hohen unbelasteten Spikespannung von ca. 14 V. Es kann der Fall sein, daß vor dem Abgleich der externen Temperatur, gegeben durch die zulässige Schleiferstellung der Einstellwiderrände in diesem Verstärkerzweig, die Ausgangsspannung für Temperatur Extern an Pin 8 des OP eIC 201 über $+5.8 \text{ V}$ liegt. Dies führt dem nachfolgenden A/D-Wandler zu Fehlverhalten, bei höheren Spannungen zu seiner Zersetzung. Um diese Überspannung für den Wandler sicher zu verhindern, ist der Teiler R 270/272 am Ausgang vom OP IC 201 angefügt. Die Verstärkung der Extern-Temperaturauswertung ergibt sich zu

$$|V| = V_1 - V_2 = \frac{R_{250}}{R_{247}} \cdot \frac{R_{260}}{R_{262}} = \frac{15 \text{ k}\Omega}{22 \text{ k}\Omega} + \frac{1.1 \text{ k}\Omega}{8.2 \text{ k}\Omega} = 1.145$$

2.5. Auswertung des relativen Luftfeuchtes

Die relative Luftfeuchte wird im Abschnitt 4.3. dargestellt. Hier soll nur die Funktion der Schaltung erläutert werden. Der Feuchtesensor ist ein Präzisions-Kondensator mit ca. 122 pF (bei $F_{RH} = 43\%$, $t = 25^\circ\text{C}$, $f = 100 \text{ kHz}$). Seine Elektroden bilden die beiden goldbeschichteten Seiten einer

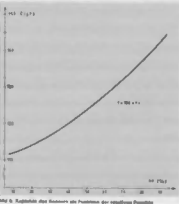


Bild 8 Kapazität des Sensors als Funktion der relativen Feuchtigkeit

Spezialfolie: Unter dem Einfluß der Luftfeuchte ändert sich die Dielektrizitätskonstante dieser Folie und damit die Kapazität des Kondensators. Die Nichtlinearität der Kapazität des Sensors (Bild 1) wird in der Schaltung teilweise eliminiert. Das verbleibende Restfehler ist im normalen Aufruhrumfang des Messbereichs wesentlich kleiner als bei den meisten handelsüblichen Analog-Hygrometern.

Die Auswertung einer Kapazitätsänderung ist mit verschiedenen Schaltungsvarianten möglich. In vielen Varianten findet man z.B. zwei voneinander unabhängige instabile Schwingungen. Diese eine davon läuft mit konstanter Frequenz, während die zweite die Frequenz bestimmendes Bauteil des Feuchtensors enthielt. Die Ausgänge beider Multivibratoren führen zu einem Komparator, dessen Ausgangssignal über eine Funktion des Feuchtaverlaufs darstellt.

Eine vom Aufwand her betrachtete günstigere Schaltungsvariante ist die mit Clima-Meter. Die beiden Transistoren T 203/205 bilden mit den zugehörigen RC-Gliedern einen stabilen Multivibrator. Ein Zweig wird von R 214/216 und C 207/208 gebildet, während sich der zweite aus R 152, C 151/152 und dem Feuchtensor 162 zusammensetzt. Die vier Festkondensatoren dienen neben der grundsätzlichen Frequenzfestlegung zur T_c -Kompensation der Kippstufe. Das am Kollektor von T 203 gewonnene Rechtecksignal, dessen Frequenz eine Funktion der relativen Luftfeuchte ist, wird mit R 227 und C 212 integriert, die erhaltenen Gleichspannung einem OP zur weiteren Verstärkung zugeführt und gleichzeitig invertiert. Die Gleichspannungsverstärkung beträgt

$$V = R_{245} + \frac{R_{248}}{R_{236}} = 50\text{ k}\Omega + \frac{330\text{ M}\Omega}{67\text{ k}\Omega} = 8.1$$

Mit dem Elko C 210 am Ausgang des OP's wird ein Puls ausgetragen, um auf dem Display eine stabile Anzeige zu gewährleisten.

2. 6. Aufwertung des Luftdrucks

2. 6. 1. Aufbau des Drucksensors

Der Drucksensor KP 100 A ist ein spezieller Halbleiterchip, der in einem DIL-Polykarbonatgehäuse mit 2 mal 3 Anschlußbuchsen untergebracht ist. Auf der Gehäuseseite befindet sich ein dünnes Kunststoffröhrchen, durch dessen Öffnung auf den Chip der barometrische Luftdruck erweitert. Für den Abgleich im Bereich der Fertigung besteht sich die Bauform genauer an: Auf den Anschlußbuchsen wird ein Schlauch aufgesteckt, der wiederum mit dem Druckzuleiter verbunden ist. Auf diese Weise können auf den Sensor die erforderlichen verschiedenen Drücke gegeben werden.

Der wenige mm² große Chip trägt in seiner Längsrichtung die Brückenschaltung der vier Hälftenlernenden. Der vorhersehbare Luftdruck belastet mechanisch den Chip, der gleichzeitig Membrane für die darunterliegende kleine Vakuumbüchse ist. Als Folge davon ändern sich die Widerstände, was wiederum eine Änderung der Ausgangsspannung zwischen Pin 2 und Pin 3 zur Folge hat. Ein ΔU_A von nur 40 μV hat auf dem Display eine Änderung von 1mb bzw. 1hPa zur Folge.

Wie jeder Halbleiter zeigt auch der Drucksensor – bezogen auf die Ausgangsspannung – eine relativ große Temperaturabhängigkeit. Um dieses U_A schon am Ort der Entstehung teilweise zu eliminieren, wird die Metallbrücke über einen Transistor vorgesorgt, dessen ΔU_A eine Folge der Temperaturänderung ist. Fünf Stück dieser Transistoren mit unterschiedlichem Basissteuer sind auf dem Chip plat-

ziert. In Absprache mit dem Anwender wird vom Hersteller das Sensors die bestimmter Transistor mit zugehörigen Teilen an die Metallbrücke gebunden. Am Ausgang Pin 1 steht somit eine Temperaturspannung U_T zur Verfügung, mit deren Hilfe eine weitere temperaturkompensierte Durchführung durchgeführt werden kann (Bild 2).

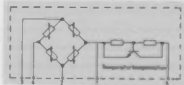


Bild 1 Drucksensor KP 100 A

- 1 = Temperatur
- 2 = Positive Spannung
- 3 = Negative Spannung
- 4 = $\Delta U_A = U_2 - U_3$
- 5 = Basissteuer

2. 6. 2. Erklärungen zur Hysterese

Weder der hier verwendete Drucksensor KP 100 A noch die Sensoren anderer Hersteller sind ideale Bauteile, was die Verwendung für Wetterstationen mit hoher Auflösung und Genauigkeit betrifft. Die Sensoren wissen (jedoch nicht zu übersehende Hysteresewerte dazu), die ein Meßergebnis (Bild 1) verlässlich liefern können. Es sind dies

a) die Offsethysterese,

b) die Temperaturhysterese und

c) die Empfindlichkeithysterese.

Zu a)

Unter der Offsethysterese versteht man die Differenz der Ausgangsspannung verschiedener Druckföhre bei ein und denselben Umgebungsdruck. Diese Hysterese hat verschiedene Ursachen:

- unterschiedliche Brückeneinstände
- unterschiedliches U_T der Kompressionskunstransistoren
- Toleranzen im Basisspannungsteiler

Die Hysterese erreicht, wie bereits erwähnt, die Fehlspannung am Brückenausgang und wird in der nachfolgenden Schaltung mit dem Luftdruck-Offset-Einstellerv (groß und fein) herausgeglichen.

Zu b)

Wie alle Halbleiter, so ist auch dieser Silizium-Chip T_c -behobelt. Eine temperaturabhängige Abweichung der Soll-Ausgangsspannung der Metallbrücke wird durch eine Stromänderung durch die Brücke teilweise eliminiert. Die Änderung steuert der Kompressionskunstransistor infolge Arbeitpunktverschiebung durch das ΔU_T. Die temperaturabhängige Emitterspannung U_E wird gleichzeitig über Pin 1 nach außen geführt. In der Folgeschaltung wird nach Verstärkung eine Temperatur-Kompensationsspannung gewonnen, die dann innerhalb eines Eingangs Pin 5 des letzten Verstärkungs-OP's IC 203 überlagert wird.

Zu c)

Die Empfindlichkeithysterese ist eine Folge von unterschiedlichen Ausdehnungskoeffizienten der Halbleiterchips und damit der vier Brückeneinstände. Zeigt die Brücke fertigungsbedingt eine höhere Empfindlichkeit, so reagiert sie auf Luftdruckschwankungen stärker und gibt eine höhere Ausgangsspannung ab. Letztlich bedeutet das, daß die Verstärkung am Eingang Pin 8 des OP's IC 203 geringer eingestellt werden muß.

2.8.3 Schaltungsbeschreibung

Der Brückenzweiderstand des Drucksensors beträgt $1,8 \text{ k}\Omega \pm 1\%$, bei $U_s = 5,8 \text{ V}$ stehen am Temperaturausgang Pin 1 etwa $3,8 \text{ V}$ gegen Masse (Pin 8). Daraus ergibt sich ein Strom durch die Brücke von 2 mA . Um die Stromverteilung auf dem Chip nicht nachrechnen zu müssen, werden die beiden Massegänge Pin 2 und 3 der Brückenschaltung auf den hochohmigen positiven Eingang je eines OP's geführt. Der Parallelkondensator C 209 unterdrückt sprungartige Druckschwankungen, wie sie z.B. beim Nabenbeschleunigen des Sensors auftreten und damit eine unruhige Anzeige zur Folge haben. Dem Pin 8 des OP's IC 203 wird die Offset-Kompenstationspolarisierung zugeführt. Mit dieser wird vor dem eigentlichen Abgleich der Auswerteschaltung die Anzeige auf ihren unteren Eckwert justiert, hier 950 hPa .

Die Verstärkung der Nutzsignalspannung ergibt sich bisher zu

$$|V_1| = 1 + \frac{R_{244}}{R_{243}} = 1 + \frac{120 \text{ k}\Omega}{10 \text{ k}\Omega} = 13$$

In der folgenden Stufe wird die Gesamtverstärkung abhängig von der Empfindlichkeit des Drucksensors, mit R_{253} eingestellt:

$$|V_{out}| := V_1 \cdot \frac{R_{282}}{R_{261}} = R_{253} \cdot 13 \cdot \frac{39 \text{ k}\Omega}{1,3 \text{ k}\Omega} = 175$$

Wie schon erläutert, ist die Brückenausgangsspannung mit einem Temperaturkoeffizienten behaftet. Als Parameter der Temperaturänderung erhält man eine abhängige Spannung am Pin 1 des Sensors. An dem sich dort befindlichen hochohmigen Spannungsdivider wird als Teil abgegriffen und auf einen OP mit der Verstärkung 2 gegeben. Am Ausgang des nachfolgenden IC's steht das invertierte Signal. Über den Spannungsdivider zwischen den beiden OP-Ausgängen ist es nun möglich, positive wie auch negative Spannung zum Eliminieren des Sensor-Temperaturgangs abzugreifen. Sobald diese Temperaturkorrektur als auch die an der Geräterefrente anzustellende Ortsabhängigkeit korrigiert werden, steht Eingang Pin 6 des IC 203 zugeführt. Das verstärkte Summensignal ist proportional dem vorliegenden Luftdruck.

2.7 Der Analog-Digital-Wandler

Das Interface zwischen der analogen Spannungsaufbereitung und dem steuernden und auswertenden Micro-Computer ist der Analog-Digital-Wandler μPD 7001 C [Bild 10]. Der low power 8-bit CMOS-Converter enthält vier Analog-Eingangskanäle, einen digitalen Interface-Schmittsteller und serielle I/O-Ports. Der Wandler arbeitet nach der aufzuwirksamen Approximationstuflverfahrens-Anthropung, die hier zu erklären zu weit führen würde. Der IC arbeitet mit einem intern erzeugten Takt. Die Generatorkfrequenz wird mit dem RC-Glied R 273, C 219 auf etwa 90 kHz festgelegt. Mit dieser Frequenz verarbeitet der Converter die anstehenden Analogspannungen schneller, als es für den μC notwendig ist. Im umgekehrten Fall würde der A/D-Wandler erst nach erfolgter Konvertierung an seinem Pin 1 (End of Conversion) einen aktiv LOW-Pegel an den μC abgeben als Aufforderung, dass nun erst das Signal von diesem abgelesen werden kann. Die Übersetzungsraten berechnet sich zu

$$t_u = 14 \cdot 4 \cdot \frac{1}{f_{osc}} = 14 \cdot 4 \cdot \frac{1}{80 \cdot 10^3 \text{ Hz}} = 62,2 \text{ μsec}$$

In der vorliegenden Schaltung ist Pin 1 daher nicht belegt. Die 4 Digital-Eingänge werden vom Prozessor angesteuert und verleihen dem A/D-Wandler zur seriellen

Ausgabe eines konvertierten Analog-Signals.

Mit CS (Chip Select) wird der A/D-Wandler zunächst initialisiert. Über DL (Analog Channel Data Load) und SI (Serial Data Input) wird der erwünschte Analogkanal angezeigt. An SCK (Serial Data Clock) legt der Systemtakt des μC an, um an SO (Serial Data Output) das 8-Bit-Wort mit der systemgerechten Verarbeitungsgeschwindigkeit zu erhalten. AG (Analog Ground) bildet den Bezugspunktpunkt für die analogen Eingangsspannungen, mit Vref wird die maximale Eingangsspannung bestimmt. Sie entspricht einer Initialisierung aller 8 Ausgangsbits.

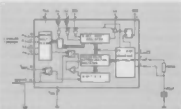


Bild 10: Innenschaltung des A/D-Wandlers μPD 7001 C

Im folgenden eine kurze Gegenüberstellung der vier KI-medierte Messstellen mit Angabe der Auflösung der analogen Eingangsspannung als auch der digitalen Verarbeitung.

	Temperatur mit	Temperatur ohne	Frequenz	Laufzeit
Widerstand	-10°C - +70°C	-10°C - +70°C	500Hz - 500kHz	μsec - ms
Aufteilung	0,176 - 0,884	0,176 - 0,884	0,176 - 0,884	μsec - ms
max. Aufl.	256	256	256	256
Freizeit	2,048°C	2,048°C	2,048°C	2,048 μs
Freizeit mit ΔS	2,048°C	2,048°C	2,048°C	2,048 μs

Zur Pegelanpassung des μC an den A/D-Wandler ist eine Interface-Schaltung umstrukturiert. Zum einen gelangt die vom μC abgebogene Signalspannung polaritätsrichtig an den Converter, zum anderen werden über die Kollektordioden des Wenders die entsprechend höheren Steuerspannungen zugeliefert.

2.8 Der Mikrocomputer

Das Herz der gesamten Wetterstation ist der 4-bit-Dess-Chip-Mikrocomputer. Er ist in CMOS-Technologie erstellt und benötigt somit Bild 2.8 Betriebsspannung einen Strom von nur $18 \text{ bis } 45 \text{ μA}$.

Der Chip ist in einem nur 2 mm flachen quadratischen Plastikgehäuse von 14 mm Kantenlänge untergebracht. Seine 80 Anschlussbuchsen sind gleichmäßig auf vier Seiten verteilt.

Es würde hier zu weit führen, sollte der Computer mit seinen vielen Programmablauf beschrieben werden. Nur grundsätzliches zur Peripherie sei erwähnt.

Der Quarzgenerator läuft mit der meist üblichen Frequenz von 32768 Hz . Die Gengenauigkeit der Uhr wird mit dem Kondensator C 226 am hochohmigen Eingang des Clock-Generators eingestellt. Die zur Testmatrix führenden Ausgänge sind auf die Pins 48, 49, 50 und 60 gelegt, während die Eingänge der Matrix auf 8, 9, 10 und 11 liegen. Die Schaltspannung zum Ein- und Abschalten des Randfunktions wird am Pin 59 gewonnen und mit T 2 16 die Pegelanpassung sichergestellt. Im Falle des Weckens mit

Alarmanlagen liefert der integrierte Tongenerator am Pin 87 ein mit 2 Hz getaktetes 4-kHz-Signal. Der Weckton wird dem Schalttransistor T 21B zugeführt, er deutet Arbeitswiderstand R 304 parallel der Pseudo-Schwinger-Segmente.

Zum Ermitteln und Auswerten der Luftdruckänderung (fallend, gleichbleibend oder steigend) nimmt der μ C zu jedem vollen Stundenwechsel den aktuellen Luftdruckwert in einen Zwischen Speicher auf und vergleicht ihn über einen Komparator mit dem vor genau 3 Stunden gemessenen Wert. Eine entsprechende Abrechnung wird durch einen Pfeil auf dem Display angezeigt. Als auszuwertende Differenz müssen mindestens $1,6 \text{ hPa}$ vorliegen. Nach dieser Berechnung wird der Inhalt des letzten Speichers gelöscht, die Werte der vorausgehenden werden um einen Platz weitergeschoben und der erste Speicherplatz ist wieder frei für die Messwertaufnahme beim nächsten Stundenwechsel. Erfolgt der Melldzyklus während eines Netzausfalls, d.h. bei Batteriebetrieb, so gibt der μ C am Pin 2 einen HIGH-Pegel ab, mit dem die Schalttransistoren T 201 und T 202 durchgeschaltet werden. Damit wird die Stromversorgung für den Analog-Teil eingeschalten und somit kann der Luftdruck gemessen werden. Der gleiche Schaltvorgang erfolgt ebenso, wenn bei Batteriebetrieb eine der vier Tasten 11 bis 14 zum Abruf der Wetterdaten gedrückt wird.

Zur korrekten Ansteuerung des LC-Displays (siehe 2, 9) ist es notwendig – ausgehend von einer Mittenspannung – positive und negative Spannungspulse an die Segmente zu legen. Die Bezugsspannung stammt aus der μ C-Betriebsspannung abgetrennt und dem Pin 85 zugeführt.

2.8 LCD-Ansteuerung

Wegen der Vielzahl der erzeugenden Symbole (Bild 4) wäre es unvorteilhaft jedem Segment eine eigene Verbindungsleitung zum μ C zu geben. Man arbeitet daher im Multiplexbetrieb ein vorliegenden Fall mit Z-Pulse-Multiplexing. Abgeleitet aus der μ C-Quarzfrequenz wird das Display mit 64 Hz betrieben. Die beiden Rückelektroden sind über die Kondensatoren C Z27/228 mit dem μ C gekoppelt, während die 26 Segmentanschlüsse direkt an den IC führen.

Im folgenden Diagramm (Bild 11) sind die Phasenverläufe der Displayansteuerung dargestellt. H₁ und H₂ stellen die bei die Rückelektroden, S einen willkürlich herausgegriffenen Segmentanschluss dar. Mit V_U = 2,9 V ist die volle Betriebsspannung des Displays, mit V_U = 1,45 V die Mittenspannung erklärter.

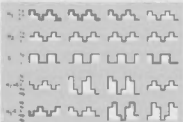


Bild 11 LCD-Ansteuerung
H₁ = Spannungsumkehr an Rückelektrode 1
H₂ = Spannungsumkehr an Rückelektrode 2
S = Spannungsumkehr an bestimmte Leitung
H₁-S, H₂-S = Mittenspannung

Die Signale an H₁ und H₂ haben die gleiche Kurvenform, sind aber um 90° phasenverschoben. Am Segmentanschluß H₁-S hängen im Display zwei Segmente, von denen jeder einer anderen Rückelektrode zugeordnet ist. Die Spannungen an den Segmenten sind die Differenz zwischen der (phasenverschobenen) S-Spannung ihrer Rückelektroden und der gemeinsamen Spannung an S. In den beiden letzten Zeilen des Impulsdigramms werden die Differenzen H₁-S und H₂-S gezeigt.

- In der linken Spalte ist H₁ in Phase mit S. Die Differenzen H₁-S und H₂-S ergeben Signale der gleichen Kurvenform und einer Amplitude von $\pm V_{U} = \pm 1,45 \text{ V}$.
- In der zweiten Spalte besteht zwischen H₁ und S eine Phasendifferenz von 90°. Aus der Differenz von H₁-S ergibt sich eine Amplitude von $\pm 2,9 \text{ V}$, während H₂-S immer noch eine Amplitude von $\pm 1,45 \text{ V}$ aufweist.
- In der dritten Spalte beträgt die Phasendifferenz zwischen H₁ und S jetzt 180°. Beide Differenzen H₁-S und H₂-S zeigen nun eine Amplitude von $\pm 2,9 \text{ V}$.
- Schließlich zeigt die rechte Spalte eine Phasendifferenz von 270° zwischen H₁ und S. Aus H₁-S resultiert eine Signalamplitude von $\pm 1,45 \text{ V}$, während H₂-S die maximale Amplitude von $\pm 2,9 \text{ V}$ zeigt.

Die Schwingspannung des LC-Displays muss herstellergerecht so dimensioniert sein, daß bei einer Amplitude von $\pm 1,45 \text{ V}$ das entsprechende Segment sicher aus-, aber bei $\pm 2,9 \text{ V}$ eingeschaltet ist. Auf diese Art und Weise können zwei sich an einem Segmentanschluß befindlichen Symbolen unabhängig voneinander geschaltet werden.

3. Erläuterung zum Abgleichsvorgang

In den vorausgegangenen Abschnitten soll verschiedentlich die Rolle vom Offset-Abgleich, der Einstellung des Anfangswertes im jeweiligen Multidreieck und der Abgleich der Verstärkung bzw. des Endwertes. Dies setzt natürlich voraus, daß die Temperaturfühler, der Druck- und die Feuchte-Sensor danach den jeweiligen Kriterien ausgesetzt sind. Ein exakter Abgleich, daraus folgend eine genaue Anzeige, erfordert Referenzgeräte mit hoher Genauigkeit. Zum Temperatur- und Druckabgleich sind zwei verschiedene Temperaturen und zwei Luftdruckwerte vorgegeben, die jeweils stets den Erfordernissen des Anzeigebereichs entsprechen. Um in der Fertigung nicht zuviel Werkzeiten zu verbrauchen, ist es von großer Bedeutung, die erforderlichen Temperatur- und Luftdruckgrößen möglichst schnell und genau an die Sensoren zu führen. Als temperaturbestimmendes Medium hat sich die Verwendung einer sogen. inertien Flüssigkeit angestellt. Dieses gesättigte Flüssigkeit ist chemisch, physikalisch und elektrisch vollkommen neutral, d.h. es können bei Bedarf komplekte Schaltungsbauteile in diese Substanz eingetaucht werden, ohne daß irgendwelche Nachteile befürchtet werden müssen. Der spezifische Widerstand beträgt bei 25 °C $1,9 \cdot 10^6 \text{ Ohm}\cdot\text{cm}$, der Verlustfaktor tan δ bei 1 kHz $< 0,0003$, die Dielektrizitätskonstante 1,88. Inerte Flüssigkeiten gibt es je nach den Erfordernissen mit verschiedener Siedetemperatur. In unserem Fall genügt eine Siedetemperatur von 97 °C, wobei ein Siedepunkt von $\sim 110^\circ\text{C}$ folgt. Die Dichte beträgt bei Raumtemperatur ca. $1,76 \text{ g/cm}^3$, fast das Doppelte des Wertes von Wasser.

In einem ständig umgewälzten Bad wird die Temperatur der inerten Flüssigkeit über eine elektronische Regelstrecke auf konstant 0,0 °C gehalten. In einem weiteren Behälter steht ebenfalls ständig umgewälzte Flüssigkeit, hier aber ohne Temperaturregelung. Dieses Bad hat normale

(c) Raumtemperatur, der genaue Wert wird von einem Präzisionsthermometer gemessen und angezeigt. Vor dem Abgleich wird auf den schon erwähnten Anschlussstutzen des jeweiligen Drucksensors das Ende eines Schlauches gesteckt. Das andere Ende steht in Verbindung mit der Druckregelheit, die auf Abruf automatisch die beiden Luftdruckwerte vergleicht.

Nach kurzer Anpassungszeit der Sensoren ist. Bei Raumtemperatur werden für den Intern. und Extern-Temperatur-Messbereich Offset und Anfangswert (Hier entsprechend der Raumtemperatur abgeglichen). Im Schaltkreis der Luftdruckauswertung werden der Druck-T-, Offset, Druck-Offset, Anfangs- und beide zweiten vorgegebene Luftdruck aus der Regelheit auch der Endwert eingesetzt.

Über einen mechanischen Ablaufvorgang werden nun die Sensoren diesem Bad entkommen und ab das 0°C-Bad eingetaucht. Nach der Einlaufzeit von einer halben bis zu einer ganzen Minute haben die drei Sensoren die Temperatur angenommen. In den Temperatur-Messbereichen wird nun die Anzeige mit dem Endwert Einstellung auf genau 0°C abgeglichen. Die Luftdruckanzeige (gleicher Druck vom Regelgerät vorwultiggestellt) hat sich durch die Abstimmung des Sensors bedingt, um einige hPa verändert. Mit dem Einsteller für die Druck-Tg-Kompensation wird die Anzeige auf den wahren Wert korrigiert.

Der Feuchtesensor darf keinesfalls im Flüssigkeitstein getaucht werden, um ihn nicht zu beschädigen. Der Null- und Endwert-Abgleich erfolgt mit im Labor ermittelten Einsatz-C-Werten. Sie werden analytisch des Sensors in den Zweig des zentralen Multivibrators kontaktiert. Anschließend wird der Sensor durch das Schließen einer Lötkontakte mit der Schaltung verbunden und mit dem Potentiometer R.218 der angezeigte Wert der relativen Luftfeuchtigkeit auf die Anzeige des Referenz-Hygrometers korrigiert.

Abschließend ist zum gesamten Abgleich heranzuholen, daß sich die Schaltungseinstellungen der Einstellpotentiometer gegenseitig nicht beeinflussen. Im Gegensatz z.B. zum Rundfunk-Oszillatormeter braucht in der Wetterstation also jeder Einsteller nur einmal betätigt zu werden.

4. Kleine Wetterkunde

Zunächst sei betont, daß der Ort und der Zeitpunkt des Ablesens von Wetterdaten wichtige Faktoren darstellen. Weder örtlich noch zeitlich sind Wetterbedingungen beständig. Selbst dann, wenn die Abstände nur gering sind, können sie sich von einem Ort zum anderen beträchtlich verändern.

In besonderen gilt dies für Temperatur und Luftfeuchtigkeit, da hier die Werte bedingt durch Niederschläge, direkte Sonnenenergiestrahlung, Reflexion von Gebäuden usw. sehr stark schwanken können. Der Luftdruck dagegen zeigt einigermaßen konstante Werte, wenn auf gleichbleibender Höhe gemessen wird.

4.1 Luftdruckmessungen

Was ist der meiste mechanischen Barometern mit REGEN - VERÄNDERLICH - SCHÖN berechnet ist, wird beim Sono Clock 1000 mittels eindeutiger Symbole auf dem LC-Display angezeigt. So entsprechen einer Schlechtwetterlage die beiden Symbole Wolke und Regen, einem veränderten Zustand das gleichzeitige Auftauchen von Sonne, Wolke und Regen und einer Schönwetterlage von Sonne und Wolke. Die drei möglichen Symbolkombinationen ermittelt der µC aus dem momentan vorliegenden Luftdruck. Bei Werten unter 998 hPa

fehlt das Sonnensymbol über 1022 hPa das Regensymbol. Bei dazwischenliegenden Luftdruckwerten sind alle drei Zeichen deuternd in Betrieb.

Bei anhaltend stationärer Wetterlage treten immer, abhängig von der Tageszeit, Luftdruckschwankungen von maximal $\pm 1,5$ hPa auf (Bild 12). Wird bei regelmäßiger Beobachtung der Wetterstation mit langsam stiegendem Luftdruck festgestellt, so deutet dies auf ein ausgehendes Hoch hin. Ein beschleunigter Druckabfall bedeutet die Annäherung eines Tiefes mit aufkommendem Regen und Wind. Tiefdruckzonen bewegen sich wesentlich schneller als Hochdruckgebiete, sodaß bei langsam steigendem Druck eine längere Periode von gutem Wetter im Sommer erwartet werden kann. Aus einer Kurvenfassung Wetterregel läßt sich folgendes entnehmen:

- langsam fallender Luftdruck: Wind und Regen am Winter Schnitt
- schnell fallend: Gewitter und Sturm
- langsam steigend: schön und trocken, im Winter kalt
- schnell steigend: Wetterbesserung nur kurzfristig

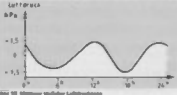


Bild 12: Diagramm der Luftdruckschwankungen über 24 Stunden

Um Luftdruckwerte mit den amtlichen Vorhersagen vergleichen zu können, ist es notwendig, am Standort des Sono Clock 1000 mit der Korrekturkonstante 10 den Wert entsprechend den Bekanntgegebenen einzustellen. Ab Werk ist die Anzeige auf Null Meter (Meereshöhe) gesetzt. Mit zunehmender Höhe über NN (Normalnull) nimmt der absolute Luftdruck um ca. 12,5 hPa pro 100 m ab. Beträgt z.B. der Luftdruck auf Meereshöhe 1020 hPa, so entspricht dies in einer Höhe von 300 m über NN einem Absolutwert von 1020 hPa - 3 · 12,5 hPa = 982,5 hPa. Nur unter Berücksichtigung auf den und dieselbe Orts Höhe (NN) lassen sich Luftdruckwerte miteinander vergleichen.

Mit Hilfe der Orts Höhenkorrektur 10 läßt sich ein großer Höhenunterschied ausgleichen. So ist die Wetterstation vom Toten Meer (ca. 380 m unter NN) bis zur Zugspitze (3000 m über NN) voll funktionsfähig.

4.2 Temperaturmessungen

Während die Entwicklungslinien des Climate-Meters hat sich gezeigt, daß die Erfassung der wahren Temperatur die schwingende Messung überhaupt darstellt. Der Meßwert stimmt einzig und allein nur für den engl. begrenzten Ort, an dem sich die Thermosonde befindet. Doch auch dieser Wert kann fehlerbehaftet sein, je nachdem wie die Standortbeschaffenheit Temperatur aufnimmt bzw. reflektiert. Material und Art der Farbe der unmittelbaren Umgebung sind sehr entscheidend. Eine weitere Verfälschung des Meßwertes kommt schon durch einen leichten, vom Menschen kaum spürbaren Luftzug zustande. Hieraus ist nun sehr leicht einzusehen, daß handelsübliche Quecksilber- oder Bimetallthermometer in armer Linie die Wandtemperatur messen, die aber keineswegs der gewünschten Anzeige der Raumtemperatur entsprechen muß.

Ähnlich wie der Luftdruck schwanken im Tagesrhythmus die Außentemperaturen vom Minimum (z. B. Morgendämmerung) zum Maximum am frühen Nachmittag. Innen- und Außenraum sollten keiner direkten Sonnen- bzw. Heizkörperstrahlung ausgesetzt sein. Nach Möglichkeit sollte der Außenkühl er an einer windgeschützten Stelle platziert werden.

Zusammenfassend ist grundsätzlich zu bedenken, daß das Climate-Meter die Bedingungen misst, die seine Meßfühler umgeben.

4. 1 Messung der relativen Luftfeuchte

In der Hygrometrie unterscheidet man u. a. zwischen drei wichtigen Begriffen:

- der absolute Feuchtigkeit,
- der Sättigungsfeuchtigkeit
- der relativen Feuchtigkeit.

Die absolute Feuchtigkeit gibt diejenige Wassermenge an, die in einem bestimmten Luftvolumen entstehen ist. Es gilt:

$$F_{\text{abs}} = \text{Masse des Wassers : Luftvolumen (g : m}^3)$$

Die Sättigungsfeuchtigkeit gibt die maximale mögliche Wassermenge an, die in einem bestimmten Luftvolumen aufgehalten sein kann. Sie ist von der Temperatur abhängig und steigt mit dieser umgekehrt stark an. (Bild 13).

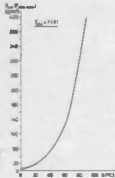


Bild 13 Sättigungsfeuchtigkeit F_{sat} in Abhängigkeit von der Temperatur T

$$F_{\text{sat}} = \text{Max. Masse des Wassers : Luftvolumen (g : m}^3)$$

Die relative Feuchtigkeit ist das Verhältnis von absoluter Feuchtigkeit zur Sättigungsfeuchtigkeit. Sie wird in Prozent angegeben:

$$F_{\text{rh}} = \frac{F_{\text{abs}}}{F_{\text{sat}}} \cdot 100 (\%)$$

In Bild 14 ist der Zusammenhang zwischen der absoluten und der relativen Feuchtigkeit und der Temperatur dargestellt.

Das Sono Clock 1000 ermöglicht es, die entscheidenden Parameter des Wettergeschehens zu ermitteln und auf Abruf anzuzeigen. In den Wintermonaten führt die Heizung mit Temperaturerhöhung, gleichzeitig aber zur Absenkung der relativen Luftfeuchte. Es folgen daraus meist

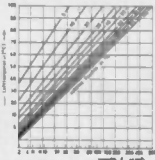
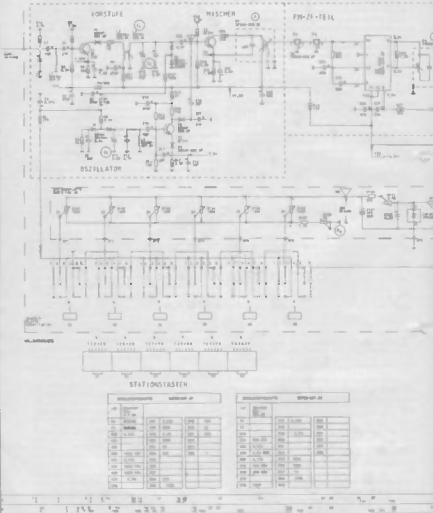


Bild 14 Beziehungsdarstellung zwischen der absoluten und relativen Feuchtigkeit und der Temperatur

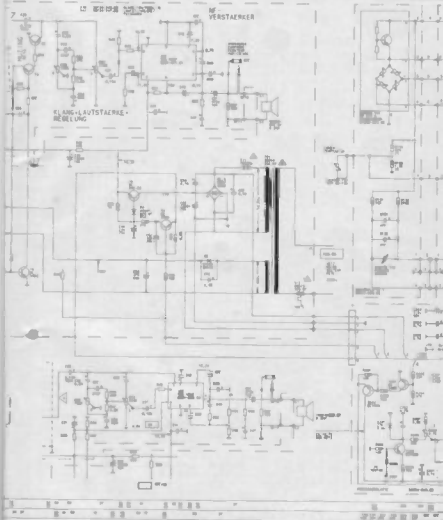
Werte von weniger als 30 %. Die Luft ist unangenehm trocken und führt oft zu Erkrankungserscheinungen. Abhilfe kann hier mit einem Luftbefeuchter geschaffen werden. Als gesundes Raumklima können Temperaturen zwischen 18 und 25 °C und relative Luftfeuchtwerte zwischen 45 und 75 % angesehen werden.

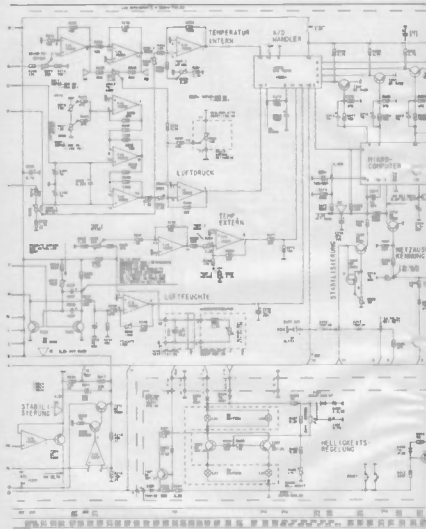


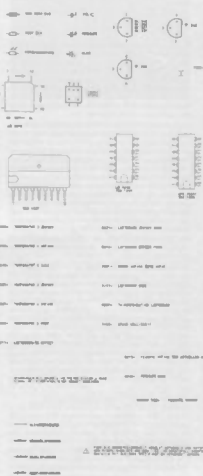
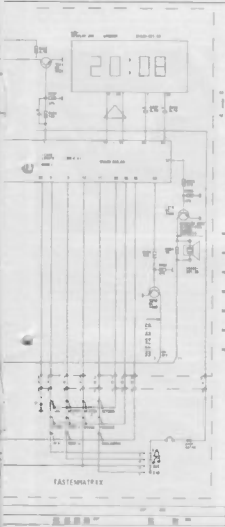
LS 8001995 10000

MF-
VERSTAERKER

KLANG- LAUTSTAERKE-
REGELUNG







Es soll hier bereits erwähnt werden: Der MO 53 kommt ohne Kühlleitze aus. Das bedeutet ein durchgehend geschlossenes Gehäuse. Ein wichtiger Schutz für sein Innenteil.

Der Y-Verstärker – Kenndaten, die den Anwender zuerst interessieren:

Über den Y-Verstärker sind wesentliche Merkmale bereits in dem Funkausbau-Bericht 5/84 aufgeführt. Bei stetigen Ansteigwellen zeigt sich das Impulsverhalten des MO 53 im Vergleich mit einem 400-MHz-Oszilloskop in den folgenden Oszillosgrammen (Bild 3).

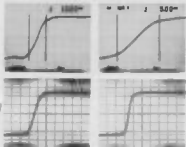


Bild 3: Amplitudenverhältnisse von Wechselspannungen über 100 MHz bis zur 200-MHz-Halbwertsfrequenz, welche der MO 53 mit anzeigt.

Das gewobbelte Signal läßt die Bandbreitenreserve erkennen (Bild 4).

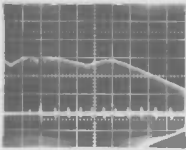


Bild 4: Das Brill-Punkt zeigt deutlich über 100 MHz, das Wechselspannungsnetz, doch kann dieses Gerät guten Kontakt bis zu 70-MHz-Durchmesser-Gleichspannungen liefern.

Für die Einzelerstellung wurde von mir zusätzlich zu dem gewobbelten Signal nach Bild 4 der Frequenzbereich von 10 MHz bis 150 MHz mit einem Konstantspannungsgenerator untersucht. In dem Oszillosgramm Bild 8 erreicht die Amplitude bei 78 MHz 4,2-Y-Rasterhälften. An dieser Stelle möchte ich den Benutzer noch einmal darauf hinweisen, daß bei einer Bandbreite von mind. 76 MHz die Teilfunktion des Vertikalschalters bis ca. 58 MHz innerhalb der angegebenen Toleranz erhalten bleibt. Aus diesem Grunde bin ich der Meinung, daß Sie eher ein 80-MHz-Scope kaufen, entgegen den etwas zurückhaltenden GRUNDIG-Angaben von 50 MHz. Ein Reuschen war bei dieser Bandbreite noch nicht feststellbar. Der Strahl war

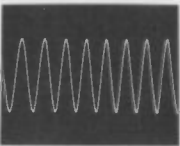


Bild 9: Rauschen 7000Bit/s erreichtet das 8e-8 in die 2-GB-Rauschen-Höhe – 0dB = 0 dB Rauschanteile.

unbeeinflußt scharf 2 u bemerkbar war allerdings ein Übersprechen beider Y-Kanäle; ab 25 MHz bis zu 2 mm Amplitudenhöhe.

Der bei dem MO 53 mit der Seriennummer 1249 bei mir festgestellte Gleichspannungsaufschluß in den Bereichen 2 mV, 5 mV und 10 mV – bei denen ein zusätzlicher $\times 10$ -Verstärker eingeschaltet wird – läßt zwar durch ein Schaltungskonzept bedingt, schwankt aber in der von mir festgestellten Grenze wohl typisch für das MO 53 zu sein. Eine Rückfrage bei GRUNDIG ergab eine Strahlabweichung von 2 mm im Mittel. Das Driftverhalten des Gerätes zeigt eine normale Einlaufzeit von ca. 20 Minuten (bei Raumtemperatur, neutralerem Zustand, so wie es bei Vergleichsgeräten ebenfalls anzutreffen ist). Der thermische Gleichlauf aller einzelnen Verstärker, aber auch der Funktionsgruppen untereinander ist als gut und während der Einkaufsphase ohne Einschränkungen für den Gebrauch des Gerätes geurteilt.

Bemerkenswert ist auch, wie ich bei einer möglichen Anwendung von Grundlagenverstärkern und während Messungen an einer elektronischen Baugruppe im meinen Labor feststellen konnte. Sie können bei dem MO 53 nicht nur die beiden Y-Signale invertieren – also die Phasenlage um 180° drehen, sondern darüberhinaus läßt die Stellung ADD einen weiteren Vergleich beider Signale zu. Für die Inversion wird der Vertikalfallregler gezogen. Das dafür auf der Bedienebene vorhandene + Symbol erfordert allerdings Nachdenken, bis man sich schließlich ist, was sich der Erfinder dabei gedacht hat. Bei 8-e Amplitudeneinstellungen warnte Sie eine rote LED, wenn der VERTIKAL-VAR-Regler in Stellung UNCAL steht. Dieser V-VAR-Regler überstrahlt übrigens einen Dynamik-Bereich bis 1:2,5. Hierdurch ist eine rückstoßlose Amplitudenwahl gegeben.

Die Berechnungseinstellung, ob das Meißignal über den Kanal 1 oder 2 angezeigt werden soll, bleibt ihrer Vorwahl der Schalterstellung CH1 – CH2 überlassen. Ein Schalter, der in seiner Periode in der Praxis oft benutzt wird... und dieser ist wie der dazugehörige Zweistellungs-Schalter an einer sehr leicht erreichbaren Stelle nach Bild 6 angeordnet.

Dieselbe wichtige Schalter wird mit satten, sicherem Schaltgetriebe in seine möglichen drei Stellungen gebracht. Ein Bedienvorteil, der auf den letzten Vertikalspannungswechsler oberhalb des BNC-Buchens leider nicht zutrifft. Über die Stellung ALT und CHOP braucht nichts weiter ausgesagt zu werden.



Bild 8: Die beiden Verstärkereingänge mit ihren Bedienelementen.

sagt zu werden, der jetzt Stand der Technik. Wichtig sich zu erinnern ist es, daß der MO 53 die Stellung ADD aufweist. Sie erhalten dadurch eine Meßmöglichkeit, die bei verschiedenen Abgleicherarbeiten im Verbindung mit dem Invertierungsenschalter wie schon erwähnt, eine erhebliche Arbeitshilfe ist.

Der X-Y-Betrieb und seine Grenzdaten

Im Verlaufe einer Ausbildung wird mehrfach auf die X-Y-Darstellung zurückgegriffen. Der MO 53 läßt sich mit nur einer Schalterstellung in diesen Betriebszustand bringen. Vorteilhaft, daß beiden Vertikalbeschleunigern das X-V-Signal zugeführt wird und über ihre Abschwächungen die gewünschte Verstärkung eingestellt werden kann. Dem CH 2 als X-Vorverstärker ist die Endstufe des X-V-Amplifieurs nachgeschaltet. Dieser hat auf Grund seiner eigentlichen Aufgabe eine geringere Bandbreite. Somit gibt es Grenzen bei der Anwendung höherer Frequenzen.

Ich habe das auch für den schulischen Einsatz untersucht. In dem Oszillogramm Bild 7 ist eine leichte Linsengaußscheiierung zu erkennen, die etwa um zwei Strahlstärken im Zentrum auswiderliegt. Aufgenommen bei $f = 600 \text{ kHz}$ bedeutet das eine Phasenverschiebung von ca. 1° (Bild 7). Mit diesem Wissen können X-Y-Darstellungen bequem im Bereich bis 0,5 MHz vorgenommen werden. Sie sollten wissen, daß in diesem Betriebszustand der Strahl ohne Signal unabhängig ist ... hier besteht eine Punktenbranngefahr für die Skopophils.

Zetautomatik "TIME AUTÓ-RANGE": ein neuer Begriff bei den Oszilloskopen?

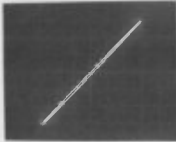


Bild 9: Das Bild zeigt die Phasenverschiebung (ca. 1°) bezüglich der Zeitbasis.

Dass ein Oszilloskop eine Zeitbasis hat, ist bekannt. Ebenfalls, daß diese in Stufen und auch variabel dem Meßsignal angepaßt werden kann. Dieses gilt jetzt beim MO 53

zunächst nicht geändert, außer, daß der Bereich mit einem dreistufigen Zeitabstandsschalter angesteuert und der gewünschte Bereich über zwei Tasten durch eine Logikstufe gesteuert wird. Das aber funktioniert nach Bild 8, wenn durch Tastendruck die MAN-LED aufleuchtet. Übrigens wird der AUTO-RANGE-Betrieb mit nur einer Taste angewählt.



Bild 10: Ansicht vom Bedienungsbrett des MO 53 mit AUTO RANGE.

Die übige Gedankenarbeit nehmen Ihnen dann 32 LDC-MOS's ab. Was verbirgt sich dahinter? Ist das Praktiker so langsam geworden, über einen Stufensteller die X-Darstellung in 256/Tell zu wählen, so übernimmt der MO 53 jetzt diese Arbeit durch die Zetautomatik. Der Begriff der Zetautomatik war auch mir neu bei einem Oszilloskop. Anlässlich eines Werkbesuches habe ich mir Funktions- und weitere Einzelheiten des Gerätes vom Entwickler genau erklären lassen (Bild 8).



Bild 11: Eine Person arbeitet an einem Oszilloskop im Labor.

Die Zetautomatik stellt unabhängig von der Meßfrequenz 1,5 bis 8,8 Schwingungen auf dem Bildschirm dar. Das hat zwei Vorteile, die Sie eigentlich nur durch den praktischen Umgang mit dem MO 53 kennenlernen können. Zunächst ist hier ein ungewohnter Bedienkomfort gegeben, des lästige Einstellen der Zeitbasis entfällt. Das gilt für stationäre Y-Signale. Zum anderen erhalten Sie ein ganz neues Analyseobjekt bei Meßgrößen, die Ihre Frequenz ändern. So z.B. bei manuellem Ändern der Meßfrequenz eines Autodegenerators in Verbindung mit einem NF-Vorstärker als Prüfobjekt. Die Zetautomatik nimmt Ihnen jede manuelle

Zertbelebungsstellung ab. Es bleiben Ihnen die allmählich zur Gewöhnung werdenden 1,5 - 8,8 Schwingungen auf dem Schirm erhalten. Der jeweilige, automatisch gewählte Bereich wird im Display deutlich angezeigt, wie es das Bild 8 noch einmal demonstriert.

Wird die Automatik ausgeschaltet, so können Sie über zwei Tasten höhere oder niedrige Zeitbereiche wählen. Die Anzeige erfolgt im Display in den Bereichen ms, µs oder ns. Der MAN-Betrieb wird über eine LED signalisiert. Eine Frequenz-Einstellung ist mit dem mit CAI beschrifteten Regler möglich, dessen Zuordnung allerdings leider nur die eine weitere Beschriftung fehlt. Jedoch sorgt auch hier der MO 53 für die Ablesesicherheit des Anwenders, denn steht die Frequenzeinstellung nicht in der kalibrierten Stellung, so blinken rhythmisch Leuchtdioden am Anzeigedisplay. Eine X-Vorstärkungsumschaltung (Dehnung) mit dem Faktor $\times 10$ bildet den schnellenen Ablenkbereich von 10 ns/Teil. Auch diese Stellung signalisiert eine LED ... und der Zeitbereich erscheint dann bereits um den Zehnfaktor 10 umgerechnet im Display. Bei komplexen Impulsen, so z.B. auch bei FRAS-Signalen, kommt es vor, dass die Zeitsymmetrie sich verschlucht. Deutlich erkennbar an einer undefinierbaren Zeitentzerrung. Abhilfe soll Videosignale schaffen bzw. die später zu behandelnde TV-Triggemöglichkeit. In anderen Fällen muss auf MAN geschaltet werden.

Die gewählte Zeit beider Zeitbassen A und B wird im Display angezeigt.

Ein Oszilloskop mit zwei getrennten Zeitbassen war in früheren Jahren etwas Außergewöhnliches, eine Art Statussymbol im Labor. Wegen seines hohen Preises war es nur in wichtigen Labortoren zu finden, obwohl erst die zweite Zeitbasis Licht in das Dunkel komplexer Impulszusammensetzungen bringt. So, wie es z.B. auch in der täglichen Praxis des Videodienstes vorkommt. Das Prinzip beider Zeitbassen ist folgendes: Sie wählen mit der Zeitbasis A Ihre gewohnte Impulsdarstellung auf dem Bildschirm. Dazu steht der Schalter TIME-BASE (Bild 10) zunächst auf A. Stellen Sie jetzt diesen auf ALT; es passiert direkt: 1. schaltet die Zeitbasis automatisch auf MAN; 2. wird in der vorher gewählten Impulsdarstellung ein Teil des Impulses hell gefärbt und 3. wird dieser hell gefärbte Teil in einer zweiten Schreibblase entsprechend gedreht abgebildet. Hier gibt es eindeutige Vorteile im Gebrauch, die ich Ihnen als Prinzip (Bild 11) vorführe.

Die Zeitbasis A bildet hier mit 10 µs/Teil vier positive Impulse für ein TTL-Tor ab. Das genaue Aussehen eines S-Vga-Impulses soll untersucht werden. Die zweite Zeitbasis B auf 1µs/Teil gestellt, gibt Ihnen jetzt mit dem unteren silbernenen Schreibstrahl die klare Aussage. Mit dem DELAY-Regler können Sie in dem Oszillogramm Bild 11 die Hellverlagerung verschieben – automatisch dazu ändert sich im unteren Teil der gedrehten Ausschnitt. Die Größe der Dehnung können Sie ändern durch Zeitwahl der Zeitbasis B. Für diese Darstellungsart gehört der B-Trigger-Regler in Stellung START AFTER DELAY. Das vergibt man leicht, auch mir ging es so. Dieser Regler hat keine Reststellung. Ähnlich dem Regler HOLD OFF sind das die beiden Einsteller, die GRUNDUNG besser mit einer Reststellung versehen sollte. Der Schalter TIME-BASE in B gestellt, schaltet das obere Signal aus, Sie erhalten nur die gedrehte Darstellung. Diese Darstellung ist im praktischen Gebrauch vermutlich sehr selten, es fehlt die Zuordnung.

Mit dem Oszillogramm in Bild 12 ist die praktische Anwen-



Bild 10: Die Bedienung der zweiten Zeitbasis muß gekonnt sein – hier gilt die Geduldsteuerung

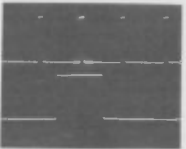


Bild 11: Die ALT-Funktion bildet auf einer zweiten Zeitbasis die oben gezeigte Sequenz gezielt ab

dung im Videosbereich bereits erreicht. Bei Servicetechnikern wird diese Darstellungsmöglichkeiten mit der alternierenden Zeitbasis die Fehlersuche erheblich verkürzen lassen... der Servicetechniker sehr danken.

Ein Vorteil wird oft mit einem Nachteil erlaufen. Bei der alternierenden Darstellung ist im allgemeinen bekannt daß eine merkbare unterschiedliche Helligkeit und ein Jitter der zweiten Zeitbasis festgestellt wird. Nun habe ich das Verhalten in dieser Arbeitsfunktion bei verschiedenen Anwendungsfällen untersucht. Der MO 53 zeigt gute Ergebnisse. Darstellungen mit Zeitdifferenzen von 1:100 bis

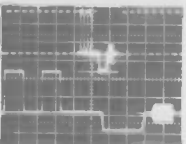


Bild 12: Hier ist die Wissensfrage: die aufwärts gerichtete Spitze eines Signals ist

Zeitbasen werden sauber abgebildet, hell genug, und ein Jitter ist – mit einem stabilen HP-Wien-Generator untersucht – kaum wahrnehmbar. Ein Vergleich mit höherwertigen Oszilloskopen heißt sich hier fest an. Das Jitter zeigt die erste Bill-Zeitunterschiede beider Zeitbasen starker bemerkbar. Eine Einstellung, die in der Praxis kaum vorkommt.

Wie sich der MO 53 triggern lässt

Die Triggermöglichkeiten sind umfangreich und für ihren jeweiligen Anwendungsfall maßgeschneidert. Diese Feststellung möchte ich näher erläutern. Die Zeitbasis A erhält über den Triggerwahlschalter CH1 = BOTH - CH2 = CH1 (Bild 8) zunächst den gewünschten internen Standpunkt vom Meßsignal. Für den praktischen Gebrauch ist die Stellung BOTH besonders zu erwähnen – eine Triggermöglichkeit, die nach meiner Meinung bei sehr vielen teuren Geräten fehlt. Bei Einzeldarstellungen von V_1 oder V_2 ist es ja nicht erforderlich, zusätzlich die Triggerung mit umzuschalten. Die Stellung BOTH wirkt während der Messung bei mir häufig eingeschaltet.

Weiter ist in Bild 8 nach der Triggerwahl INT-LINE-EXT zu erkennen. Noch einmal ein Blick auf die Bedienelemente im Bild 8. Das Triggerignal kann gefiltert werden. Zunächst die allgemein bekannte DC-AC-Triggermöglichkeit. Darüberhinaus können Sie aber auch noch aus stark gestörten Meßsignalen die Stellung LF die tiefen und die Stellung HF die hohen Frequenzen aussortieren. Der Überschreitungspunkt liegt bei ca. 10 kHz.

Dem Profil bekannt, daß bestimmte Meßsignale bei verschiedenen Oszilloskopen Triggerrichtungswinkelungen ergeben. Auch das wurde beim MO 53 untersucht. Bei komplexen Impulsignalen ist es zunächst sinnvoll, die Automatik auszuzeichnen. Der vorhandene HOLD OFF Regler hilft weiter. So, wie in dem Oszillosgramm (Bild 13) die Darstellung eines AM-Signals es zeigt.

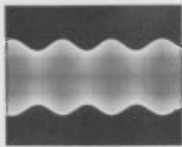


Bild 13: Der MO 53 IMP-Regler unterscheidet die Triggerung bei AM-Signalen.

Die Triggerrichtungswinkel liegt beim MO 53 bei ca. 0,8 Verstärkerteilen (8 mm Schreibhöhe). Die Triggerung setzt stabilität... und bleibt erhalten, wenn die rund 1 cm Signallänge nicht unterschritten werden. Das Triggerteil arbeitet selbst bei sehr hohen Frequenzen noch sauber. Eine Anwendung, die ich auch bei schnellen TTL-HS-Signalen in der Digitaltechnik erproben konnte. Die Grenze interessierte mich. Beim Betrachten 140 MHz werden im gedeckten 10 ns/ Teil Bereich noch dargestellt (Bild 14). Rund 1,5 cm Bildgrathöhe waren für die Darstellung eines 140-MHz-Signals erforderlich. Das sind Daten, die dem Profil als An-

wender die Ressourcen der Triggerung bei schnellen Digitalsignalen sichert.

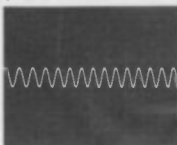


Bild 14: Meßbereich nach dem 140 MHz verschoben.

Für die Videoseite-technik- und den Service eine Inhalt-karte Triggern

Für die spezielle Anwendung im Videobereich – so auch für den Recorder-Service – gibt Ihnen die Stellung TV einen extrem gezeitenen Triggerensatz – das Video-H Bild steht. Dabei spielt die Polarietät des Videosignales bei meinen Untersuchungen keine Rolle. Ebenfalls nicht die Wahl oder Umschaltung verschiedener Videotestbilder oder FBAS-Signaleigkeiten. Die Zeitbasis gibt automatisch 20 µs vor, die Regler SLOPE und LEVEL sind außer Betrieb. Die Triggerung bleibt stabil stehen, auch wenn Sie höhere oder niedrigere Zeitzentren manuell wählen – eben bei ausgeschalteter Automatik. Erwähnt wurde bereits im dem vorangegangenen Teil die Darstellung des ersten oder zweiten V-Bildes. Diese Darstellung ist wie im Bild 8 mit V1 oder V2 schnell erzielbar. Der MO 53 triggert in beiden Fällen ca. 20 Zeilen vor dem ersten resp. zweiten Halbbild. Wegen der etwas dunkleren Schreibbilder in der gedeckten ALT-Zeitbereininstellung, z.B. beim Betrachten der V-Trabanten, ist es sinnvoll, den als Option lieferbaren Sichtbus zu benutzen. Lassen Sie mich hier noch erwähnen, daß ich die H- und V-Darstellungen besonders für die Studio-Meßtechnik als wichtig erachte. Bild 15 ist kein Universal-Scope mit diesen Bedienfunktionen bekannt.

Helle Bilder, stabiler Aufbau und weit wie während des Gebrauchs noch auffällig.

Der MO 53 nähert sich mit fast 11 kV Gesamtbeschleunigungsspannung den Grenzen der sehr hell und scharf zeichnenden Telefunken-Richtstrahlröhre D 14-651 mit einem 8 x 10 cm Meßbereich. Ein BEAM-FINDER Knopf löst das Problem der sog. Verkürzungsgesetzten Bilder schnell. INTENS. und FOCUS-Regler sind innerhalb praktikabler Grenzen sauber einstellbar. Es steht noch etwas, daß der INTENS-Regler gleichzeitig als Ausschalter fungiert. Es steht auch, daß das Meßrohr nicht die übliche Bedeutung 0-10-80-100% aufweist, obwohl die horizontalen Meßstärkewerte 0 und 100 vorhanden sind. Die Röhre rechnet mit den zugehörigen Endverstärkern des MO 53 ein lineaeres Bild, wie es das Oszillosogramm (Bild 15) beweist.

Eine nicht parallele Strahlage wird mit dem TRACE-ROT-Regler behoben. Wenn GRUNDIG in den technischen Daten für die Kompensation das Taastfeld mit Rechteckgraf von TVSS mit 1100 µs angibt, so waren diese Daten bei

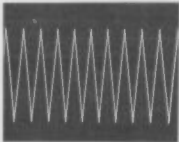


Bild 15: Ein Gitterabstandstab für die V-Lamellenmontage mit Mittelstab

der Serie Nr. 1249 nicht einsichtbar. Gemessen habe ich 920 mV/d mit f = 1,15 kHz. Das kann bei dem Anwender zu Unsicherheiten führen.

Der MO 53 benötigt knapp 40VA und gegen-Netzteil stabilisiert bei Unterspannung bis 195V. Diese 40VA ermöglichen es, auf Kühlleiste zu verzichten. Das bedeutet für den MO 53 eine hohe Werterhaltung. Staub und Flüssigkeiten oder Fremdkörper können ihm wenig entziehen. Ebenso die Tatsache, dass die stehende Gebrauchsweise durch die höchstens angeordneten Fälle des Geräts weiter universell einsetzen lassen.

Der Aufbau eines Messgerätes entscheidet über seine Lebensdauer.

Wie ich bereits erwähnte, war der MO 53 etwa vier Wochen bei mir im Labor in Benutzung. So wie mir für den Gebrauchstest auch der Aufbau wichtig. Der Profi beachtet auch daran die Qualität eines Gerätes. Er misst dem Aufbau einen wesentlichen Bestandteil der Lebensdauer bei. Sie wurde ebenfalls von mir das Innenleben des MO 53 untersucht. Daraus ergaben sich weitergehende Fragen, die im Bereich der Fertigung und der Qualitäts sicherung im Werk 10 von GRUNDIG beantwortet wurden. Anlässlich eines Besuches wurde mit den leitenden Herren dieser Bereiche am abschließendes Gespräch geführt (Bild 16).



Bild 16: Innenansicht des MO 53 mit den Gesprächsteilnehmern im Hintergrund. Von links gegen rechts: Hans Wohl (Forschungslaboratorium Werk Freiburg), Dr. E. Schmid, Hans Möhling (Fertigung), Peter Krampe (Montage), der Reparaturmeister, Hans Baier (Montage) und Hans Kuhn (Reparatur).

Daraus gewonnenen Erkenntnisse und für den Käufer wichtige Daten möchte ich Ihnen nicht vorbehalten.

Der modulare Platinenaufbau beherrscht das Bild. Die einzelnen Baugruppen sind modular auf über Funktion abgestimmt und weitgehend über Steckverbindungen miteinander verbunden. Die Platten sind sauber aufgebaut (Bild 17).

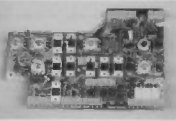


Bild 17: Beispiele für Aufbau und Montage der Bedienelemente

Stichprobenweise Kontrolle von Verbindungen und Leiststoffstellen ergeben keine Mängel. Die Bauteile erhalten auf der Platine einen deutlichen zweiseitigen Positionierungsaufdruck. Das trägt zur Erleichterung des Service bei. Die Makroaufnahme (Bild 18) soll Ihnen das verdeutlichen. Es liegt ein Ausschnitt aus dem Y-Endventilator mit den HF-Transistoren BFW 92 zu sehen.

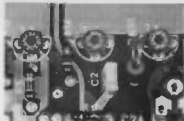


Bild 18: Makroaufnahme des Y-Endventilators mit den HF-Transistoren BFW 92.

Die dazugehörige Platine ist typisch für den Aufbau des MO 53. Eine Steckerleiste mit noch zusätzliche Steckverbindungen auf der Platine und eine schnell zu lösende Schraubverbindung (Bild 19).

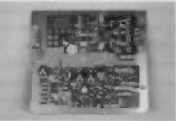


Bild 19: Eine Steckerleiste mit zusätzlichen Steckverbindungen und Schraubverbindung.

Die mechanische Stabilität des Aufbaus betrachte ich als gegebenen. Der äußere Rahmen eines Gerätes verleiht die innere Stabilität. Der mechanische Aufbau des MO 53 wird durch eine verwindungssteife, selbsttragende Rahmenkonstruktion geprägt (Bild 20).

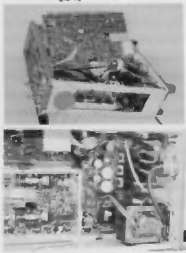


Bild 20 Hier ist der stabile Rahmenaufbau – ohne Platten kommt es nicht aus. Im Bild unten der VDE unter der VDE weitere Sicherheit

An dieser Konstruktion sind aufgehängt Platinen, Netzteil und Bildrohr. Versuche, das Abwinkelmöglichkeit zu erreichen, waren sehr schwierig möglich. Alles ist stern profiliert hier der Käufer, wenn ich an den möglichen AußenService denke. An dieser Stelle sei gesagt, daß GRUNDIG als Option eine Frontschutzhülle bereithält.

Die Stabilität des Aufbaus ist auch im kleineren Details zu finden. Bild 21 läßt den geöffneten Teil eines V-Abschwingers erkennen.

Verständlicherweise wird durch die verschiedenen Platinen des Gerätes eine unzugänglicher. Das ist natürlich nur eine Frage für den Service. Aber, im Fall der Fälle muß sich das Gerät in Funktion halten, wenn die einzelnen Platinen

herausgeklappt werden. GRUNDIG liefert dafür Adapterkabel (Bild 22).



Bild 22 Adapterkabel

Qualität durch know how, Zeit und Geld ... der MO 53 ist in der Fertigung

Wie bereits ausgeführt, wurde für diesen Bericht bei GRUNDIG ein abschließendes Gespräch geführt. Während dieses Besuchs im Werk 10 war es mir auch möglich, die wichtigsten Fertigungsschritte des MO 53 zu beobachten.

Zunächst einmal ist hervorzuheben, daß ständige Stichproben der Endprodukte im Werk 10 den Qualitätsstandard auch beim MO 53 prüfen. In dem folgenden Bild 23 wird von einem Mitarbeiter der Qualitätsabteilung ein Les von Halbleitern auf die Einheiten von Daten geprüft. Halbleiter werden im Werk 10 einer 100 %-Kontrolle unterzogen.

Nicht ganz so schlimm ergibt es den passiven Bauteilen. Der 100 %-igen Kontrolle entgehen auch nicht die Leisten-



Bild 23 100 %-ige Kontrolle von Transistoren durch einen Mitarbeiter der Qualitätsabteilung am Montagtag

Bild 24 Bild 24 zeigt Karosserie von Transistorfernsteuerungskontrollen

platten. Zunächst erfolgt die genaue Sichtkontrolle sämtlicher Lötfstellen und der richtigen Polung, sowie der Positionierung bestimmter Bauteile. Danach werden die Platinen in Automaten gepackt. Diese Prüfung ist für das Personal einfach, aber – an von mikroprozessorgekennzeichneten Meßplatzten – umfangreich genug, um auch kleine Unstimmigkeiten frühzeitig zu erkennen (Bild 24). Hier muß gerade eine Gedankenplatine zeigen, was sie kann ... oder nicht kann.



Bild 24 Mikroprozessoren-gesicherte Prüfungsautomaten verfügen über Tasten zum Einstellen der Montage von Stufen

Die Vormontage der Geräte erfolgt in bewußt erweiterter Ruhe – wenn auch dem Gerät zugute kommt. Rahmen, Platinen und größere Bauteile werden sorgfältig eingepackt und montiert. Empfindliche Teile weisen einen Transportschutz auf. Baugruppen, Montagezüge und die Bildröhre liegen im Arbeitsplatznahen, um ebenfalls eingesetzt zu werden. In Teamarbeit geht die Endmontage des MO 5.3 voran (Bild 25).



Bild 25 Vormontage des MO 5.3 im Team unter Rücksichtnahme

Die so fertig montierten Geräte werden vorgespritzt. Hier handelt es sich nach einem Kurzabgleich um eine reine

Funktionsprüfung. Um zu einer Fehlererkennung zu kommen, stellt der MO 5.3 bei einem Raum einem mindestens 7-tägigen Dauerlauf unterzogen. Während dieser Zeit erfolgt in einem Rhythmus von 30 Minuten eine Netzspannungsumänderung von $\pm 10\%$. Grunddaten, die der MO 5.3 vertraglich muß und innerhalb dieser seine Daten erhalten bleiben sollen. Der Prüfraum hat sich verständlicherweise auf, so daß indirekt noch die erhöhte Umgebungstemperatur dem Gerät zu schaffen macht.

Nach diesem Dauerlauf erfolgt eine erneute Funktionsprüfung. Eventuell ausgeworfene Geräte werden repariert und gelangen erneut in den Testzyklus. Das Gerät ohne Fehler erreichen den Endabgleich. Dieser bestimmt für den Anwender im wesentlichen die Toleranz der technischen Daten. Kein Wunder, daß dieser Abgleich dauert und sehr genau vorgenommen wird. Bild 26 läßt erkennen, daß bei der ständigen Überprüfung des Dauerlaufzyklus der Prüfer mit einem Gerät wohl nicht so ganz einverstanden ist.



Bild 26 Prüfzyklus des MO 5.3 - der Prüfzettel zeigt keine zufriedenstellende Bewertung

Zum Schluß – nach den bereits durchgeführten umfangreichen Prüfungen – ein weiterer Funktionstest und die stichprobeweise Kontrolle der technischen Daten. Umfangreiche Arbeiten also, die dem Käufer kaum ahnt. Sicher für alle Anwender, aber besonders gefordert für die institutionellen Abnehmer, ist die VDE-Kontrolle. Zunächst möchte ich hier erläutern, daß bereits bei Aufbau (Bild 20) rechts unten die sorgfältige Isolierung und Fixierung nachzuherrnden Bauteile vorgenommen ist. So führt der VDE-Test bei mir auch zu keiner Beanstandung. Später habe ich bei meinem Besuch in Fürth erfahren, daß die Qualitätsüberwachung jedes Geräts – also wieder eines 100 % -Kontrollen – in den Hochzeiterzeugungen abgeschafft. Auch das habe ich mir mit Interesse angesehen und dem Prüfer meine Fragen stellen können (Bild 27).

Ich habe mich mit Anwendern unterhalten

Nachdem ich einige Zeit mit dem MO 5.3 gearbeitet hatte, interessierten mich praktische Erhaltungswerte. Ich suchte Anwender des Gerätes auf. Zunächst einen größeren Rundfunk- und Fernseh-Servicestandort in Hamburg. Hier, bei der Firma Brinkmann, war ein MO 5.3 im täglichen Einsatz. Herr Wunnenberg (Gruppenleiter im Videoservice) unterhielt sich während seiner Arbeit mit mir (Bild 28).

Wichtige Details möchte ich gern wiedergeben: Der Einsatz erfolgt im Video-Servicebereich. Herr Wunnenberg nennt als Vorteil die hellzeichnende Röhre, die Zeitautomatik und die TV-(V-H)-Schaltung. Das Gerät ergibt ohne Ausfall seit ca. 3 Monaten täglich im stationären Werkstattbetrieb. Er meint weiter, daß eine Gewährungszeit von ca. 2 ... 3 Wochen erforderlich ist und benötigt fa-



Bild 27: Die MO 53 Prüfung - rechter Bild 100% Konsolidation



Bild 28: Einsatz des MO 53 im Arbeitsplatzbereich

diglich die etwas schwer zugänglichen Vari-Audiobeschleuniger; er lobt die übrige Bauverarbeitung und die Tatsache, daß der MO 53 am Arbeitsplatz verstaubar ist, so wie es auch im Bild 28 zu erkennen ist. Von der Werkstattleitung der Firma Brunnmann wird die Erfahrung insgegen, daß Überlegungen angestellt werden, weitere Geräte für den Videoeinsatz anzuschaffen.

Ein weiterer Anwender, die Firma WANG Deutschland GmbH, hat den MO 53 im bemerkenswerten Stückzahl für den Computer-Außendienst eingesetzt. Da diese Einsatzzeit vor kurzem erfolgte, liegen allerdings weitere Erfahrungsbereiche bzgl. dem Käufer noch nicht vor.

Herr Dr. Ing. G. Pretzl vom Lehrstuhl für technische Elektronik der Universität Erlangen gab mir weitere Details für den Einsatz des MO 53. Die Universität Erlangen hat mit ihren sieben Lehrstühlen für praktische und theoretische Elektrotechnik u.a. 8 Geräte vom Typ MO 53 im Betrieb und das seit ca. 6 Monaten mit durchschnittlich 6 Be-

triebestunden am Tag – im Praktikum und als Unterstützung bei Dokumentarbeiten. Hervorgehoben wurde bei einem speziellen Einsatz die Zeitautomatik. Ein Mikrocomputer gesteuerte Impulsgeber mit segmentenwechselndem Logik-IC durchläuft in vorgegebenen 2 abschnittsgetrennten Frequenz- und Impulsbreiten – der MO 53 stellt sich automatisch mit seiner Zeitautomatik auf das Meßsignal ein. Das hier zeitlich absteckende manuelle Umschalten entfällt für den Anwender. Weiter wurde auf die gute Erfahrung mit dem Vorgänger des MO 53 hingewiesen. Anfallender Geräteservice wird im Institut selbst vorgenommen. Mit den Tastköpfen ist Dr. Pretzl nach und zuwider. Für einige Einsatzgebiete reichen die 50 MHz nicht aus. Hervorgehoben wird noch einmal das helle Schirmbild.

Der MO 53 und seine Anwender

Aus den Beurteilungshilfslinien meiner Gesprächspartner und meinen eigenen Erfahrungen sind dem MO 53 hier drei Schwerpunkte zu setzen:

- Der Videobereich sowohl für die professionelle Videotechnik als auch für den Videoservices
- Die Ausbildungsmöglichkeit bis hin zu den Grundlagenentwicklungen der Universitäten
- Labor-, Fertigungs- und Serviceswendungen mit technischen Bedingen der Elektronik im Bereich bis 50 MHz

Bei recht kritischer Beurteilung des Gerätes fallen auf gebrüngte Mängel auf, die gegenüber den Vorteilen des Gerätes bald in Vergessenheit geraten. Diese Bevorzugungen sind litigant mehr im Bereich der Software zu finden, als dem MO 53 selbst anzuhören. Für den professionellen Anwender fehlt die Impulsanzahlengabe auf dem Monitor, die Bedien- und Serviceunterlagen sind etwas zu meger. Der MO 53 verfügt über eine extrem langsame Zeitaufzeichnung, die Untersuchungen in der Telefotografietechnik, z.B. für medizinische oder mechanische Untersuchungen, zuläßt. Dazu ist als Option eine Rolle mit nachlauchendem Schirm erhältlich. Der Hinweis hierfür ist nirgends zu finden. Ich bin sicher, daß die von mir festgestellten Meldedaten, die in wenigen Fällen die Werkstoleranzen ausnutzen, eine Frage des Abgleichs und nicht des Konzepts sind. Die nicht reguläre Rasterbeleuchtung kann im Bedarfsfall selbst modifiziert werden. Wenn ich meine, daß das Gehäuse etwas zu tief ist, so handelt es sich auch hier zunächst um eine subjektive Beurteilung. Mit der gleichen Art der Beurteilung möchte ich Ihnen als Abschluß aber auch die Punkte nennen, die den Gebrauchswert bei einer Benutzung des Gerätes prägen werden:

- Mechanik: Verwindungsfreies Gehäuse, geschützt vor Staub und Fremdkörpern und fast wasserfest.
- Benutzung hochwertiger Bauteile Leichtgängige, aber stabile Schalterelemente. Klare und übersichtliche Beschriftung auf modernem Design.
- Elektronik: Eine Y-Empfindlichkeit von 2 mV bzgl. mehr als 50 MHz. Halbleiter-Röhre TIME-AUTO RANGE. Sehr einfache Einstellvorgänge für den Video-Anwender. Umhangsweise Y-Darstellungen für die Impulsstruktur. Alle Warnlampen ohne einheitliche Farbe.

Alternierende Zeitbasis für Signaleahnung.
X-Ablenkung bis 10 ns/Teil.

Den Gebrauchswert eines derartigen Gerätes kann nur der Praktiker bei seiner Arbeit feststellen – eine Tatsache, die Ihnen vorbehalten bleibt.

**Ein neues Fachbuch aus dem Franzis-Verlag,
München**

**Ein neues Fachbuch aus dem Franzis-Verlag,
München**

Das Ideale Werkbuch Elektronik

Ein Nachschlagewerk für den Hobby-Elektroniker
Von Ing. Dieter Nöhmann

435 Seiten, 345 Abbildungen, zahlreiche Tabellen
Lwrtv.-gebunden mit Schutzumschlag, DM 48,-
(ISBN 3-7723-2171-X)

Das hat ja kommen müssen: Das **Ideale Werkbuch Elektronik**. Das ist die Volksausgabe des bewährten legendären großen Werkbuches. Das lag ja auf der Hand: Dem Elektronik-Praktiker und Hobbyisten für seine gradlinige, komplizierte Arbeit und Aufgaben ein solides Nachschlagewerk anzubieten.

Das kleine Werkbuch **Elektronik** ist vorzusehen die Wunderkiste, in welcher der Praktiker all das findet, was er im Augenblick gerade braucht. Da muß man nur etwas herumblättern und ist erstaunt, welche eine Fülle an Material in dem handlichen Buch steckt. Das geht hauptsächlich zu den japanischen und amerikanischen HF-Schaltern, um nur ein kleiner Beispiel zu nennen.

Es ist bewundernswert, was der Ingenieur Nöhmann sich an jene Bedürfnisse annimmt, die er als junger Hobby-Elektroniker hatte und was er damals suchte und nicht fand. Hier ist es jetzt: Rechenanlagen, Werkstoffkunde, Mechanik – Ian auf die Elektronik abgestimmt – Schaltzeichen, Farbcodes, Gehäuseformen und Normen, mathematische Anwendungen, Drahtangaben und Tabellen für Transformatoren und Spulen, Stecker und Buchsen für Hi-Fi- und Videotechnik, Akkumulatoren und Batterien, ganz zu schweigen von Kondensatoren, Dioden, Transistoren, Operationsverstärkern, Optoelektronik und allen 16 Seiten zu den vielen Bauelementen für Elektronik-Sondergebiete.

Gut, davon findet stets etwas auch in anderen Nachschlagewerken. Aber hier sind alle Details und Fakten mit Tipps und Schleichen unverhüllt und ungeschert, wie sie der Hobby-Elektroniker immer wieder begeht. Nicht zu viel und nicht zu wenig. Damit läßt sich arbeiten.

Mehr als ein Drittel des kleinen Werkbooks enthält Schaltungen. Fertige Schaltungsbspiele für Hobby und Praxis. Diese sind breiter und ausführlicher beschrieben als die knappen Dokumentationen der Industrie. Wieder bemerkt man das sichere Gespür des Autors für die Erwartungen und Bestrebungen des Praktikers und Hobbyisten. Genauso decken die 41 Schaltungen breitbandig hervorragend als Gewiß, es sind Beispiele keine fertigen Bauteilungen. Dieser Teil soll ja zum Probieren und Weiterentwickeln anleiten und das tut er auch. Damit kommt der Praktiker vorwärts.

Fassen wir zusammen: Hier liegt ein sympathisches kleines Werkbuch Elektronik vor, das sein Geld in jedem Falle wert ist. Unsere Empfehlung: Bei nächster Gelegenheit ansehen ... und kaufen.

Funktchnik ohne Ballast

Einführung in die Schaltungstechnik der Rundfunkempänger. Von Otto Limann und Horst Peitsch 16, völlig neu bearbeitete und erweiterte Auflage. 576 Seiten mit 650 Abbildungen und zahlreichen Tabellen. Großformat, Lwrtv.-geb., DM 48,-
(ISBN 3-7723-5266-9)

An sich sollte es ganz einfach sein, ein Fachbuch zu besprechen, das jetzt in der 16. Auflage erschienen ist. Es ist bekannt, es hat sich bewährt. Der Leser weiß, was er bekommt, was er hat. Doch gerade wenn man es sich einfach machen will, dann geht das nicht so leicht.

Fest steht: Dies hier ist der Lang- und Bestseller der Unterhaltsungs-Elektronik. Im Jahre 1948 aus einer Funkausstellung entstanden, sind rund 200 000 Exemplare verkauft worden. Der stetige Verkaufserfolg ist leicht zu erklären. Dieses nun schon klassische Standardwerk kann kaum ignorieren, der in die Rundfunk-, HiFi- und Fernsehtechnik einsteigen will.

Gehen wir zum sachlichen Teil des Buches über. Es beginnt, wie in der ersten Auflage, mit dem Ohmischen Gesetz. Da her noch nichts gedacht, nichts? Nein, wirklich nichts, es ist unvergötzbar. Doch dann geht es schon los. In den Grundlagenkapiteln wurden Phasenbeziehungen von RC-Gliedern und Schwingkreisen stärker berücksichtigt, um auf die in integrierten Schaltungen üblichen Kaskadiermodulatoren und Zählerstufen zu verzichten. Fehler wurden eingehend von übersichtlichen Frequenzskalen die Begriffe Modulation und Demodulation, Hetero- und Homodioden erläutert.

Auf die Funktionen integrierter Schaltungen wird durch ein Kapitel über mehrstufige Grundschaltungen wie Differenzverstärker, Stromverteilungssteuerung, Darlingtonstufen und Ringmodulatoren vorbereitet. Hinweise auf das Messen und Abgleichen von Empfängerstufen sind beigelegt. Beibehalten wurde die bewährte Anordnung, den Text durch gleichlaufende berechnete Diagramme und Schaltbilder zu ergänzen.

Was ist in der Neuauflage anders geworden?

Zunächst ist der Text neu gesetzt worden. Dadurch war es möglich, die vielen Zufügungen, Änderungen und Strukturänderungen problemlos unterzubringen. Auch konnten neue Abbildungen auf diese Weise leicht ausgewechselt werden. Der Inhalt besteht nach wie vor aus einer guten Mischung von Grundlagen und moderner Schaltungstechnik. Jedoch zum ersten Mal wurden mehrere typische Geräte in ihrer Gesamtheit besprochen. So lernt der Leser, wie er mit den Meßinstrumenten der Grundlagen zu den funktionstüchtigen Geräten kommt. Stark erweitert wurde die Stereotechnik und ganz neu hinzugekommen ist die digitale Schalttechnik (Compact Disc) mit der dazugehörigen PC-M-Technik.

Im Untertitel heißt es wie bisher bescheiden: Einführung in die Schaltungstechnik. Doch das Buch ist viel mehr, nämlich ein sehr helles Kompendium der modernen Rundfunktechnik und ist zuverlässiges Repetitorium für entscheidendes Wissen obendrein.

MICROFILM-ÜBERSICHT

Zeitung für Technik und Wirtschaft

1982, 4



Gutezeuge

Büro für

A 5000

W 5000

CC 120

W 5000

CC 320 2

W 5000

C 7 3200

W 5000

C 7 3200 2

W 5000

C 7 420

W 5000

C 7 430

W 5000

C 7 430 2

W 5000

C 7 4300

W 5000

C 7 4300 2

W 5000

C 7 4300 3

W 5000

C 7 4300 4

W 5000

C 7 4300 5

W 5000

C 7 4300 6

W 5000

C 7 4300 7

W 5000

C 7 4300 8

W 5000

C 7 4300 9

W 5000

C 7 4300 10

W 5000

C 7 4300 11

W 5000

C 7 4300 12

W 5000

C 7 4300 13

W 5000

C 7 4300 14

W 5000

C 7 4300 15

W 5000

C 7 4300 16

W 5000

C 7 4300 17

W 5000

C 7 4300 18

W 5000

C 7 4300 19

W 5000

C 7 4300 20

W 5000

C 7 4300 21

W 5000

C 7 4300 22

W 5000

C 7 4300 23

W 5000

C 7 4300 24

W 5000

C 7 4300 25

W 5000

C 7 4300 26

W 5000

C 7 4300 27

W 5000

C 7 4300 28

W 5000

C 7 4300 29

W 5000

C 7 4300 30

W 5000

C 7 4300 31

W 5000

C 7 4300 32

W 5000

C 7 4300 33

W 5000

C 7 4300 34

W 5000

C 7 4300 35

W 5000

C 7 4300 36

W 5000

C 7 4300 37

W 5000

C 7 4300 38

W 5000

C 7 4300 39

W 5000

C 7 4300 40

W 5000

C 7 4300 41

W 5000

C 7 4300 42

W 5000

C 7 4300 43

W 5000

C 7 4300 44

W 5000

C 7 4300 45

W 5000

C 7 4300 46

W 5000

C 7 4300 47

W 5000

C 7 4300 48

W 5000

C 7 4300 49

W 5000

C 7 4300 50

W 5000

C 7 4300 51

W 5000

C 7 4300 52

W 5000

C 7 4300 53

W 5000

C 7 4300 54

W 5000

C 7 4300 55

W 5000

C 7 4300 56

W 5000

C 7 4300 57

W 5000

C 7 4300 58

W 5000

C 7 4300 59

W 5000

C 7 4300 60

W 5000

C 7 4300 61

W 5000

C 7 4300 62

W 5000

C 7 4300 63

W 5000

C 7 4300 64

W 5000

C 7 4300 65

W 5000

C 7 4300 66

W 5000

C 7 4300 67

W 5000

C 7 4300 68

W 5000

C 7 4300 69

W 5000

C 7 4300 70

W 5000

C 7 4300 71

W 5000

C 7 4300 72

W 5000

C 7 4300 73

W 5000

C 7 4300 74

W 5000

C 7 4300 75

W 5000

C 7 4300 76

W 5000

C 7 4300 77

W 5000

C 7 4300 78

W 5000

C 7 4300 79

W 5000

C 7 4300 80

W 5000

C 7 4300 81

W 5000

C 7 4300 82

W 5000

C 7 4300 83

W 5000

C 7 4300 84

W 5000

C 7 4300 85

W 5000

C 7 4300 86

W 5000

C 7 4300 87

W 5000

C 7 4300 88

W 5000

C 7 4300 89

W 5000

C 7 4300 90

W 5000

C 7 4300 91

W 5000

C 7 4300 92

W 5000

C 7 4300 93

W 5000

C 7 4300 94

W 5000

C 7 4300 95

W 5000

C 7 4300 96

W 5000

C 7 4300 97

W 5000

C 7 4300 98

W 5000

C 7 4300 99

W 5000

C 7 4300 100

W 5000

C 7 4300 101

W 5000

C 7 4300 102

W 5000

C 7 4300 103

W 5000

C 7 4300 104

W 5000

C 7 4300 105

W 5000

C 7 4300 106

W 5000

C 7 4300 107

W 5000

C 7 4300 108

W 5000

C 7 4300 109

W 5000

C 7 4300 110

W 5000

C 7 4300 111

W 5000

C 7 4300 112

W 5000

C 7 4300 113

W 5000

C 7 4300 114

W 5000

C 7 4300 115

W 5000

C 7 4300 116

W 5000

C 7 4300 117

W 5000

C 7 4300 118

W 5000

C 7 4300 119

W 5000

C 7 4300 120

W 5000

C 7 4300 121

W 5000

C 7 4300 122

W 5000

C 7 4300 123

W 5000

C 7 4300 124

W 5000

C 7 4300 125

W 5000

C 7 4300 126

W 5000

C 7 4300 127

W 5000

C 7 4300 128

W 5000

C 7 4300 129

W 5000

C 7 4300 130

W 5000

C 7 4300 131

W 5000

C 7 4300 132

W 5000

C 7 4300 133

W 5000

C 7 4300 134

W 5000

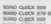
C 7 4300 135

W 5000

MICROFILM-ÜBERSICHT

STAND DEZEMBER 1988

1988



DB 10

DATA 200

DATA 400

DATA 800

DATA 1600

DATA 3200

DATA 6400

DATA 12800

DATA 25600

DATA 51200

DATA 102400

DATA 204800

DATA 409600

DATA 819200

DATA 1638400

DATA 3276800

DATA 6553600

DATA 13107200

DATA 26214400

DATA 52428800

DATA 104857600

DATA 209715200

DATA 419430400

DATA 838860800

DATA 1677721600

DATA 3355443200

DATA 6710886400

DATA 13421772800

DATA 26843545600

DATA 53687091200

DATA 107374182400

DATA 214748364800

DATA 429496729600

DATA 858993459200

DATA 1717986918400

DATA 3435973836800

DATA 6871947673600

DATA 1374389534400

DATA 2748778568000

DATA 5497557136000

DATA 1099511428000

DATA 2198522856000

DATA 4397045712000

DATA 8794091424000

DATA 1758818288000

DATA 3517636576000

DATA 7035273152000

DATA 14070546304000

DATA 28141092608000

DATA 56282185216000

DATA 11256437032000

DATA 22512874064000

DATA 45025748128000

DATA 90051496256000

DATA 180102992112000

DATA 360205984224000

DATA 720411968448000

DATA 144082336896000

DATA 288164673792000

DATA 576329347584000

DATA 115265869568000

DATA 230531739136000

DATA 461063478272000

DATA 922126956544000

DATA 1844253113088000

DATA 3688506226176000

DATA 7377012452352000

DATA 14754024904704000

DATA 29508049809408000

DATA 59016099618816000

DATA 118032193237632000

DATA 236064386475264000

DATA 472128772950528000

DATA 944257545901056000

DATA 1888514991802112000

DATA 3777029983604224000

DATA 7554059867208448000

DATA 1510811974416896000

DATA 3021623948833792000

DATA 6043247897667584000

DATA 1208649575535512000

DATA 2417299151071024000

DATA 4834598302142048000

DATA 9669196604284096000

DATA 1933839320858192000

DATA 3867678641716384000

DATA 7735357283432768000

DATA 1547071556665536000

DATA 3094143113331072000

DATA 6188286226662144000

DATA 1237657445334288000

DATA 2475314890668576000

DATA 4950629781337152000

DATA 9901259562674304000

DATA 1980251912534808000

DATA 3960503825069616000

DATA 7921007650139232000

DATA 1584201530227864000

DATA 3168403060455728000

DATA 6336806120911456000

DATA 1267361241822912000

DATA 2534722483645824000

DATA 5069444967291648000

DATA 1013888993483304000

DATA 2027777986966608000

DATA 4055555973933216000

DATA 8111111947866432000

DATA 1622222389773264000

DATA 3244444779546528000

DATA 6488889559093056000

DATA 1297777911818612000

DATA 2595555823637224000

DATA 5191111647274448000

DATA 1038222329555888000

DATA 2076444659111776000

DATA 4152889318223552000

DATA 8305778636447104000

DATA 1661155727289408000

DATA 3322311454578816000

DATA 6644622909157632000

DATA 1328924818235328000

DATA 2657849636470656000

DATA 5315699272941312000

DATA 1063139554882624000

DATA 2126279109765248000

DATA 4252558219530496000

DATA 8505116439060960000

DATA 1701023287812192000

DATA 3402046575624384000

DATA 6804093151248768000

DATA 1360818630297536000

DATA 2721637260595072000

DATA 5443274521190144000

DATA 1088654842238024000

DATA 2177309684476048000

DATA 4354619368952096000

DATA 8709238737904192000

DATA 1741847747908384000

DATA 3483695495816768000

DATA 6967390991633536000

DATA 1393478198326712000

DATA 2786956396653424000

DATA 5573912793306848000

DATA 1114782586653384000

DATA 2229565173306768000

DATA 4459130346613536000

DATA 8918260693227072000

DATA 1783652186644048000

DATA 3567304373288096000

DATA 7134608746576192000

DATA 1426921493152384000

DATA 2853842986304768000

DATA 5707685972609536000

DATA 1141537194529112000

DATA 2283074389058224000

DATA 4566148778116448000

DATA 9132297556232896000

DATA 1826459511246576000

DATA 3652919022493152000

DATA 7305838044986304000

DATA 1461167608993264000

DATA 2922335217986528000

DATA 5844670435973056000

DATA 1168934067156112000

DATA 2337868134312224000

DATA 4675736268624448000

DATA 9351472537248896000

DATA 1870294507497776000

DATA 3740589014995552000

DATA 7481178029986192000

DATA 1496235605997264000

DATA 2992471211994528000

DATA 5984942423989056000

DATA 1196890487998024000

DATA 2393780975996048000

DATA 4787561951992096000

DATA 9575123903984192000

DATA 1915026787988384000

DATA 3830053575976768000

DATA 7660107151953536000

DATA 1532021430907112000

DATA 3064042861814224000

DATA 6128085723628448000

DATA 1225617146256896000

DATA 2451234292513792000

DATA 4902468585027584000

DATA 9804937170055168000

DATA 1960987434011032000

DATA 3921974868022064000

DATA 7843949736044128000

DATA 1568789547208256000

DATA 3137579094416512000

DATA 6275158188833024000

DATA 1255031637766544000

DATA 2510063275533088000

DATA 5020126551066176000

DATA 1004025310533352000

DATA 2008050621066704000

DATA 4016101242133408000

DATA 8032202484266816000

DATA 1606440496853352000

DATA 3212880993706704000

DATA 6425761987413408000

DATA 1285152395826800000

DATA 2570304791653600000

DATA 5140609583297200000

DATA 1028121916654400000

DATA 2056243833308800000

DATA 4112487666617600000

DATA 8224975333235200000

DATA 1644991066470400000

DATA 3289982133940800000

DATA 6579964267881600000

DATA 1315988853573200000

DATA 2631977707146400000

DATA 5263955414292800000

DATA 1052791088585600000

DATA 2105582177171200000

DATA 4211164354342400000

DATA 8422328708684800000

DATA 1684465741369600000

DATA 3368931482739200000

DATA 6737862965478400000

DATA 1347572593095200000

DATA 2695145186185600000

DATA 5390290372371200000

DATA 1078058074472800000

DATA 2156116148945600000

DATA 4312232297891200000

DATA 8624464595782400000

DATA 1724892191564800000

MICROFILM-ÜBERSICHT

STAND DEZEMBER 1986

TEIL 2

BR 4858	20107	C 8801 1WAN	20107	B 8700	20138	C 7000	20148
BR 4859	20108	C 8802 1W-NP-4	20108	B 8700	20138	C 7001	20149
BR 4862	20109	C 8803	20109	B 8701	20138	C 7002	20150
BR 4864	20110	C 8804 1C	20110	B 8710	20138	C 7003	20151
BR 4865	20111	C 8804 1D	20111	B 8712	20138	C 7004	20152
BR 4866	20112	C 8804 1E	20112	B 8714	20138	C 7005	20153
BR 4867	20113	C 8804 1F	20113	B 8800	20137	C 7006	20154
BR 4868	20114	C 8804 1G	20114	B 8801 1B	20137	C 7007	20155
BR 4869	20115	C 8804 1H	20115	B 8802	20137	C 7008	20156
BR 4870	20116	C 8804 1I	20116	B 8803	20137	C 7009	20157
BR 4871	20117	C 8804 1J	20117	B 8804	20137	C 7010	20158
BR 4872	20118	C 8804 1K	20118	B 8805	20137	C 7011	20159
BR 4873	20119	C 8804 1L	20119	B 8806	20137	C 7012	20160
BR 4874	20120	C 8804 1M	20120	B 8807	20137	C 7013	20161
BR 4875	20121	C 8804 1N	20121	B 8808	20137	C 7014	20162
BR 4876	20122	C 8804 1O	20122	B 8809	20137	C 7015	20163
BR 4877	20123	C 8804 1P	20123	B 8810	20137	C 7016	20164
BR 4878	20124	C 8804 1Q	20124	B 8811	20137	C 7017	20165
BR 4879	20125	C 8804 1R	20125	B 8812	20137	C 7018	20166
BR 4880	20126	C 8804 1S	20126	B 8813	20137	C 7019	20167
BR 4881	20127	C 8804 1T	20127	B 8814	20137	C 7020	20168
BR 4882	20128	C 8804 1U	20128	B 8830	20137	C 7021	20169
BR 4883	20129	C 8804 1V	20129	B 8831	20137	C 7022	20170
BR 4884	20130	C 8804 1W	20130	B 8832	20137	C 7023	20171
BR 4885	20131	C 8804 1X	20131	B 8833	20137	C 7024	20172
BR 4886	20132	C 8804 1Y	20132	B 8834	20137	C 7025	20173
BR 4887	20133	C 8804 1Z	20133	B 8835	20137	C 7026	20174
BR 4888	20134	C 8804 1A	20134	B 8836	20137	C 7027	20175
BR 4889	20135	C 8804 1B	20135	B 8837	20137	C 7028	20176
BR 4890	20136	C 8804 1C	20136	B 8838	20137	C 7029	20177
BR 4891	20137	C 8804 1D	20137	B 8839	20137	C 7030	20178
BR 4892	20138	C 8804 1E	20138	B 8840	20137	C 7031	20179
BR 4893	20139	C 8804 1F	20139	B 8841	20137	C 7032	20180
BR 4894	20140	C 8804 1G	20140	B 8842	20137	C 7033	20181
BR 4895	20141	C 8804 1H	20141	B 8843	20137	C 7034	20182
BR 4896	20142	C 8804 1I	20142	B 8844	20137	C 7035	20183
BR 4897	20143	C 8804 1J	20143	B 8845	20137	C 7036	20184
BR 4898	20144	C 8804 1K	20144	B 8846	20137	C 7037	20185
BR 4899	20145	C 8804 1L	20145	B 8847	20137	C 7038	20186
BR 4900	20146	C 8804 1M	20146	B 8848	20137	C 7039	20187
BR 4901	20147	C 8804 1N	20147	B 8849	20137	C 7040	20188
BR 4902	20148	C 8804 1O	20148	B 8850	20137	C 7041	20189
BR 4903	20149	C 8804 1P	20149	B 8851	20137	C 7042	20190
BR 4904	20150	C 8804 1Q	20150	B 8852	20137	C 7043	20191
BR 4905	20151	C 8804 1R	20151	B 8853	20137	C 7044	20192
BR 4906	20152	C 8804 1S	20152	B 8854	20137	C 7045	20193
BR 4907	20153	C 8804 1T	20153	B 8855	20137	C 7046	20194
BR 4908	20154	C 8804 1U	20154	B 8856	20137	C 7047	20195
BR 4909	20155	C 8804 1V	20155	B 8857	20137	C 7048	20196
BR 4910	20156	C 8804 1W	20156	B 8858	20137	C 7049	20197
BR 4911	20157	C 8804 1X	20157	B 8859	20137	C 7050	20198
BR 4912	20158	C 8804 1Y	20158	B 8860	20137	C 7051	20199
BR 4913	20159	C 8804 1A	20159	B 8861	20137	C 7052	20200
BR 4914	20160	C 8804 1B	20160	B 8862	20137	C 7053	20201
BR 4915	20161	C 8804 1C	20161	B 8863	20137	C 7054	20202
BR 4916	20162	C 8804 1D	20162	B 8864	20137	C 7055	20203
BR 4917	20163	C 8804 1E	20163	B 8865	20137	C 7056	20204
BR 4918	20164	C 8804 1F	20164	B 8866	20137	C 7057	20205
BR 4919	20165	C 8804 1G	20165	B 8867	20137	C 7058	20206
BR 4920	20166	C 8804 1H	20166	B 8868	20137	C 7059	20207
BR 4921	20167	C 8804 1I	20167	B 8869	20137	C 7060	20208
BR 4922	20168	C 8804 1J	20168	B 8870	20137	C 7061	20209
BR 4923	20169	C 8804 1K	20169	B 8871	20137	C 7062	20210
BR 4924	20170	C 8804 1L	20170	B 8872	20137	C 7063	20211
BR 4925	20171	C 8804 1M	20171	B 8873	20137	C 7064	20212
BR 4926	20172	C 8804 1N	20172	B 8874	20137	C 7065	20213
BR 4927	20173	C 8804 1O	20173	B 8875	20137	C 7066	20214
BR 4928	20174	C 8804 1P	20174	B 8876	20137	C 7067	20215
BR 4929	20175	C 8804 1Q	20175	B 8877	20137	C 7068	20216
BR 4930	20176	C 8804 1R	20176	B 8878	20137	C 7069	20217
BR 4931	20177	C 8804 1S	20177	B 8879	20137	C 7070	20218
BR 4932	20178	C 8804 1T	20178	B 8880	20137	C 7071	20219
BR 4933	20179	C 8804 1U	20179	B 8881	20137	C 7072	20220
BR 4934	20180	C 8804 1V	20180	B 8882	20137	C 7073	20221
BR 4935	20181	C 8804 1W	20181	B 8883	20137	C 7074	20222
BR 4936	20182	C 8804 1X	20182	B 8884	20137	C 7075	20223
BR 4937	20183	C 8804 1Y	20183	B 8885	20137	C 7076	20224
BR 4938	20184	C 8804 1A	20184	B 8886	20137	C 7077	20225
BR 4939	20185	C 8804 1B	20185	B 8887	20137	C 7078	20226
BR 4940	20186	C 8804 1C	20186	B 8888	20137	C 7079	20227
BR 4941	20187	C 8804 1D	20187	B 8889	20137	C 7080	20228
BR 4942	20188	C 8804 1E	20188	B 8890	20137	C 7081	20229
BR 4943	20189	C 8804 1F	20189	B 8891	20137	C 7082	20230
BR 4944	20190	C 8804 1G	20190	B 8892	20137	C 7083	20231
BR 4945	20191	C 8804 1H	20191	B 8893	20137	C 7084	20232
BR 4946	20192	C 8804 1I	20192	B 8894	20137	C 7085	20233
BR 4947	20193	C 8804 1J	20193	B 8895	20137	C 7086	20234
BR 4948	20194	C 8804 1K	20194	B 8896	20137	C 7087	20235
BR 4949	20195	C 8804 1L	20195	B 8897	20137	C 7088	20236
BR 4950	20196	C 8804 1M	20196	B 8898	20137	C 7089	20237
BR 4951	20197	C 8804 1N	20197	B 8899	20137	C 7090	20238
BR 4952	20198	C 8804 1O	20198	B 8900	20137	C 7091	20239
BR 4953	20199	C 8804 1P	20199	B 8901	20137	C 7092	20240
BR 4954	20200	C 8804 1Q	20200	B 8902	20137	C 7093	20241
BR 4955	20201	C 8804 1R	20201	B 8903	20137	C 7094	20242
BR 4956	20202	C 8804 1S	20202	B 8904	20137	C 7095	20243
BR 4957	20203	C 8804 1T	20203	B 8905	20137	C 7096	20244
BR 4958	20204	C 8804 1U	20204	B 8906	20137	C 7097	20245
BR 4959	20205	C 8804 1V	20205	B 8907	20137	C 7098	20246
BR 4960	20206	C 8804 1W	20206	B 8908	20137	C 7099	20247
BR 4961	20207	C 8804 1X	20207	B 8909	20137	C 7100	20248
BR 4962	20208	C 8804 1Y	20208	B 8910	20137	C 7101	20249
BR 4963	20209	C 8804 1A	20209	B 8911	20137	C 7102	20250
BR 4964	20210	C 8804 1B	20210	B 8912	20137	C 7103	20251
BR 4965	20211	C 8804 1C	20211	B 8913	20137	C 7104	20252
BR 4966	20212	C 8804 1D	20212	B 8914	20137	C 7105	20253
BR 4967	20213	C 8804 1E	20213	B 8915	20137	C 7106	20254
BR 4968	20214	C 8804 1F	20214	B 8916	20137	C 7107	20255
BR 4969	20215	C 8804 1G	20215	B 8917	20137	C 7108	20256
BR 4970	20216	C 8804 1H	20216	B 8918	20137	C 7109	20257
BR 4971	20217	C 8804 1I	20217	B 8919	20137	C 7110	20258
BR 4972	20218	C 8804 1J	20218	B 8920	20137	C 7111	20259
BR 4973	20219	C 8804 1K	20219	B 8921	20137	C 7112	20260
BR 4974	20220	C 8804 1L	20220	B 8922	20137	C 7113	20261
BR 4975	20221	C 8804 1M	20221	B 8923	20137	C 7114	20262
BR 4976	20222	C 8804 1N	20222	B 8924	20137	C 7115	20263
BR 4977	20223	C 8804 1O	20223	B 8925	20137	C 7116	20264
BR 4978	20224	C 8804 1P	20224	B 8926	20137	C 7117	20265
BR 4979	20225	C 8804 1Q	20225	B 8927	20137	C 7118	20266
BR 4980	20226	C 8804 1R	20226	B 8928	20137	C 7119	20267
BR 4981	20227	C 8804 1S	20227	B 8929	20137	C 7120	20268
BR 4982	20228	C 8804 1T	20228	B 8930	20137	C 7121	20269
BR 4983	20229	C 8804 1U	20229	B 8931	20137	C 7122	20270
BR 4984	20230	C 8804 1V	20230	B 8932	20137	C 7123	20271
BR 4985	20231	C 8804 1W	20231	B 8933	20137	C 7124	20272
BR 4986	20232	C 8804 1X	20232	B 8934	20137	C 7125	20273
BR 4987	20233	C 8804 1Y	20233	B 8935	20137	C 7126	20274
BR 4988	20234	C 8804 1A	20234	B 8936	20137	C 7127	20275
BR 4989	20235	C 8804 1B	20235	B 8937	20137	C 7128	20276
BR 4990	20236	C 8804 1C	20236	B 8938	20137	C 7129	20277
BR 4991	20237	C 8804 1D	20237	B 8939	20137	C 7130	20278
BR 4992	20238	C 8804 1E	20238	B 8940	20137	C 7131	20279
BR 4993	20239	C 8804 1F	20239	B 8941	20137	C 7132	20280
BR 4994	20240	C 8804 1G	20240	B 8942	20137	C 7133	20281
BR 4995	20241	C 8804 1H	20241	B 8943	20137	C 7134	20282
BR 4996	20242	C 8804 1I	20242	B 8944	20137	C	

MICROFILM-ÜBERSICHT

STANDARD CHART NUMBER 1000

170

MICROFILM-ÜBERSICHT

默認的值

1



DIGITAL-MULTIMETER VON GRUNDIG. DIE SUMME VIELER VORTEILE.

Taschen-Multimeter DM 8.

3½ stelliges Multimeter mit LCD-Anzeige, 25 Meßbereiche, 0,2% Grundgenauigkeit, Hintergrundbeleuchtung, akustische Durchgangsprüfung, einfache Handhabung durch Einkehrsbedienung, Überlastschutz durch Überspannungsabsteller, 2000 Std. Betriebsszeit mit einer Batterie, Batterieunterspannungsanzeige. Tasche, Metallkabel und Batterie gehören zum Lieferumfang und sind im Preis enthalten.

Tischgerät DM 12/DM 18.

Digital-Multimeter mit echter Erstklassiger Leistungsfähigkeit, dadurch auch bei sehr unvorhersehbaren Spannungen richtige Messwerte.

Digitale und analoge Mehrwertanzeige beim DM 14 vereinen die Vorteile digitaler und analoger Messsysteme. Meßumfang bei 3000 Digit ergibt höhere Auflösung, z.B. 10 mV bei 30 V. MF-Millivoltmeter, Frequenzbereich von 40 Hz - 20 kHz.

Ein Meßeingang für Spannung, Strom, Widerstand, zum rationellen Messen ohne Umstellen der Meßschaltung. 2 kV-Eingang, Spannungsmessung bis 2000 V ohne zusätzlichen Testkopf. Überlastschutz durch Überspannungsabsteller.

Hold-Eingang zum bequemen Messen durch Abtasten der Meßwerte. Umfangreiches Zubehör z.B. Temperatur, Hochspannungs- und Hochfrequenz-Testkopf, Stromzange, Nebenwiderstand.

Ausführliche Informationen auch über Oszilloskope, Voltmeter, Generatoren und Netzgeräte erhalten Sie durch

GRUNDIG AG

Geschäftsbereich ELECTRONIC
Würzburger Straße 150
8510 Fürth/Bay
Telefon 0911/7330-1
Telex 06-23435

GRUNDIG
electronic

GRUNDIG

TECHNISCHE INFORMATIONEN

Inhaltsübersicht des Jahrganges 1984

Seiten 1 bis 108 = Heft 2/3 - '84

Seiten 109 bis 186 = Heft 3 - '84

Seiten 187 bis 230 = Heft 4 - '84

Seite	Seite	Seite
Allgemeines		
System AQUA	151	
Einsatzsteckplatten	182	
Autoradio Technik		
WRC 3858 VD	73	
Schaltplan WRC 3858 VD	83	
CF 20.000 HiFi CassetteDeck mit breiter Schublade	26	
Btx-Technik		
Telefonsystem mit öffentlicher Dienst für Jedermann	113	
Funk-Technik		
Pilotprojekt Algarve Notruf	13	
Medientechnik		
Der Antennensammelempfänger ME 40	7	
Erprobungsergebnis MO 63	212	
Prof. Video-Technik		
Videorecorder VV 75	189	
HiFi-Technik		
Das Diversamplingverfahren 896 GRUNDIG Compact Disc System 3 Party Center 1000 und 2000 HiFi 19 Receiver R 30	29	
Rundfunk-Technik		
Satellit 300-Digitaler Satellit 600 Professional	8	
Schaltplan Satellit 600	62	
Sono Oktett 1000 Clima-Motor	198	
Cassettenrecorder-Technik		
Telaboy 1000	161	
HiFi-Cassettenrecorder-Technik		
CF 3400 - ein neuer Frontbedien von GRUNDIG	166	
Videorecorder-Technik		
GRUNDIG Videorecorder nach dem VHS-System	119	
Das Mischfeld	133	
Die Tonaufzeichnung Mono	136	
Videosatelliten und Kopiersatelliten	140	
Der Chromabezahlen	144	



DIE SUMME VIELER VORTEILE.

Gleichzeitig mit der Einführung der Mehrkanal-Tonübertragung durch Fernsehgeräte bringt Grundig einen Frequenzgenerator „FG 70 Stereo“, der neben den Belangen der Videorecordertechnik auch die neuen Techniken Kabelfernsehen, Zweite-Tonübertragung und Stereoton mit einem Gerät von abdeckt.

Der moderne und zukunftsichere Generator besitzt normgerechte und farbfilterverkoppelte Synchronoschwingungen, die Bandauslastung entspricht der gütigen PAL-Norm. Die Tonträger 1 und 2 sind PLL- und die Pilot- und Kennfrequenzen nach Norm verkoppelt.

PROFSIGNALE VIDEORECORDER

Der FG 70 S bietet spezielle Testsignale wie z.B. ein stereoges. Testbild zum Prüfen von Zeiltreiber, Standbild und Zeitsteller und ein Multiburst-Signal (Frequenzpulsliste) zur Prüfung von Videorecordern aller Systeme.

KABELFERNSEHEN

Der Frequenzbereich ist lückenlos durchstimmbar von <37 MHz ...

>850 MHz. Damit stehen neben den sonst üblichen Bändern sämtliche Senderkanäle und die Bild-ZF (38,9 MHz) zur Verfügung.

Zusätzlich sind 4 Sender (Ortssender) sparsamer und über Tastendruck rasch und einfach abzurufen.

ZWEITON-/STEREOTON

Der Generator erzeugt die notwendigen Signale zur Prüfung des Tonaufnahmestellen in Mono-, Stereo- und Zweitton.

Eingebaute NF-Generatoren (500 Hz, 4 kHz), befeind schaltbar auf die verschiedenen Kanäle, gestalten die Funktionsprüfungen „Linker/Rechter Kanal“ bzw. „Ton 1/Ton 2“ bei Zweitton.

Zusätzlich kann das Tontief über eine DIN-Buchse extern moduliert werden (Frequenzgang, Überspannung).

Bei abgeschaltetem Beträger stehen Tonträger 1 und 2 entsprechend moduliert zum direkten Empfang in die Ton-ZF-Stufen zur Verfügung. Tonträger 1 und 2, der Pilotton (54 kHz) und die Kennfrequenz 117 Hz und 274 Hz sind für die Prüfung einzelner Schaltungsteile getrennt schaltbar.

AUSGÄNGE

NF-Ausgang (Bild-ZF, Tonträger 1 und 2), Videoausgang positiv und negativ, Ausstättungs- und Vertikal-Signal-Ausgang.

OPTIONEN

Standard: PAL B, G, H
Sonderausführung:

PAL D, I, N, M
NTSC-M

Auskünfte über technische Informationen auch über Oszilloskope, Voltmeter, Generatoren und Netzgeräte erhalten Sie durch

GRUNDIG AG
Geschäftsbereich ELECTRONIC
Würzburger Straße 150
8510 Fürth/Bay
Telefon 09 11/7330-1
Telex 06-23405

GRUNDIG
electronic

Der Freizeit-Club, der Schwung in Ihr Video-Geschäft bringt.

GRUNDIG

video-club

Jedem Grundig Recorder liegt ein Informationsscheckheft mit 10 Überraschungs-Schecks bei. Allen Interessenten werden damit attraktive Club-Leistungen geboten:

- Ein kostenloser Kennenlern-Vermietvorgang für eine bespielte Video-Cassette.
- Ein Kassetten-Angebot mit den attraktivsten Titeln aus der Video-Szene.
- Club Magazin.
- Freizeitartikel und, und, und

Inzwischen liegen die ersten Reaktionen von Handel, Presse und auch von Endverbrauchern vor. Die zahlreichen Anträge auf Club-Mitgliedschaft zeigen, daß hier für den Fachhandel eine neue Chance gefunden wurde, um in engem Kontakt mit interessierten Endverbrauchern zu kommen – und zu bleiben!

Nutzen auch Sie diese Chance.

Sprechen Sie mit dem Grundig-Außendienst.